

Fig. 1 : Localisation du plateau de Gergovie, au sud de Clermont-Ferrand (63). Extrait de la carte IGN 1 : 25'000. © IGN.

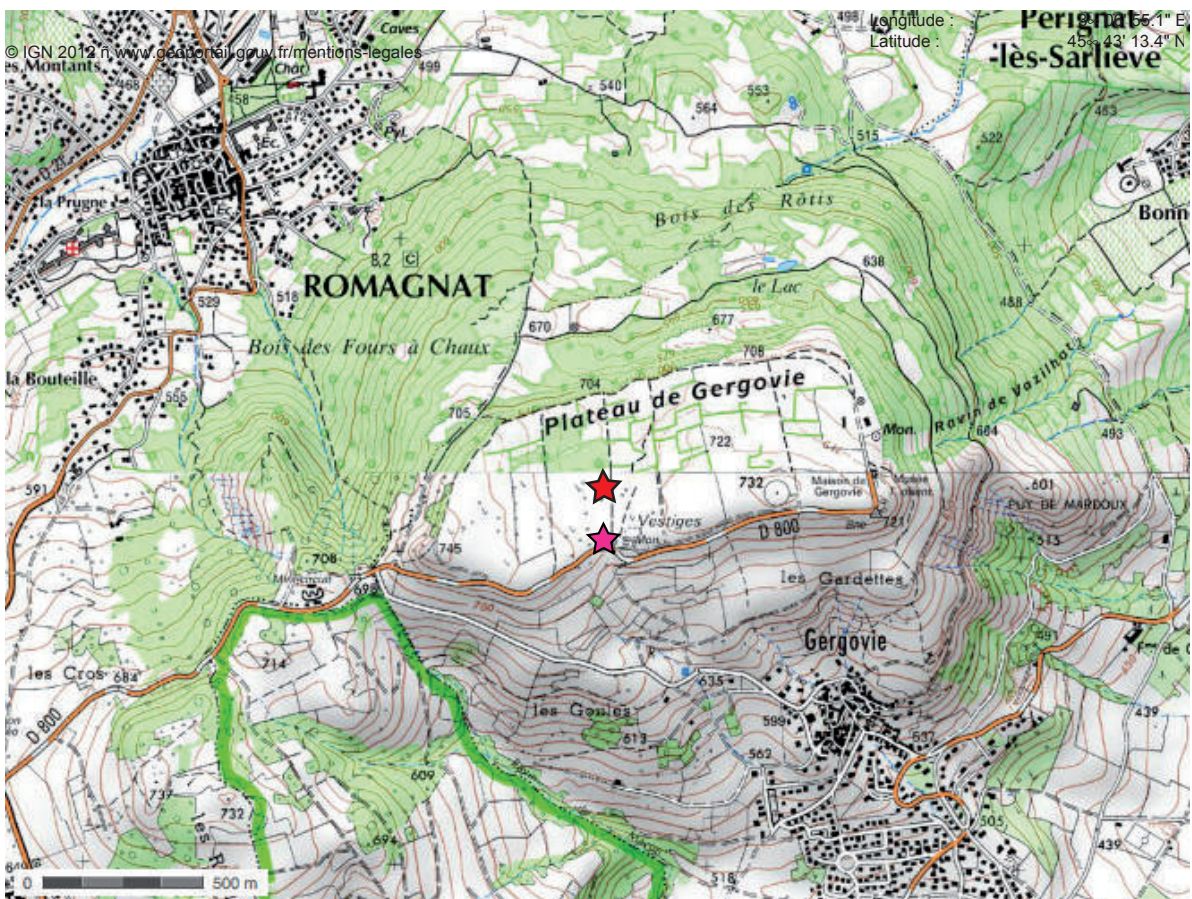


Fig. 2 : Localisation des fouilles de 2018 sur le plateau de Gergovie. Extrait de la carte IGN 1 : 10'000. © IGN.

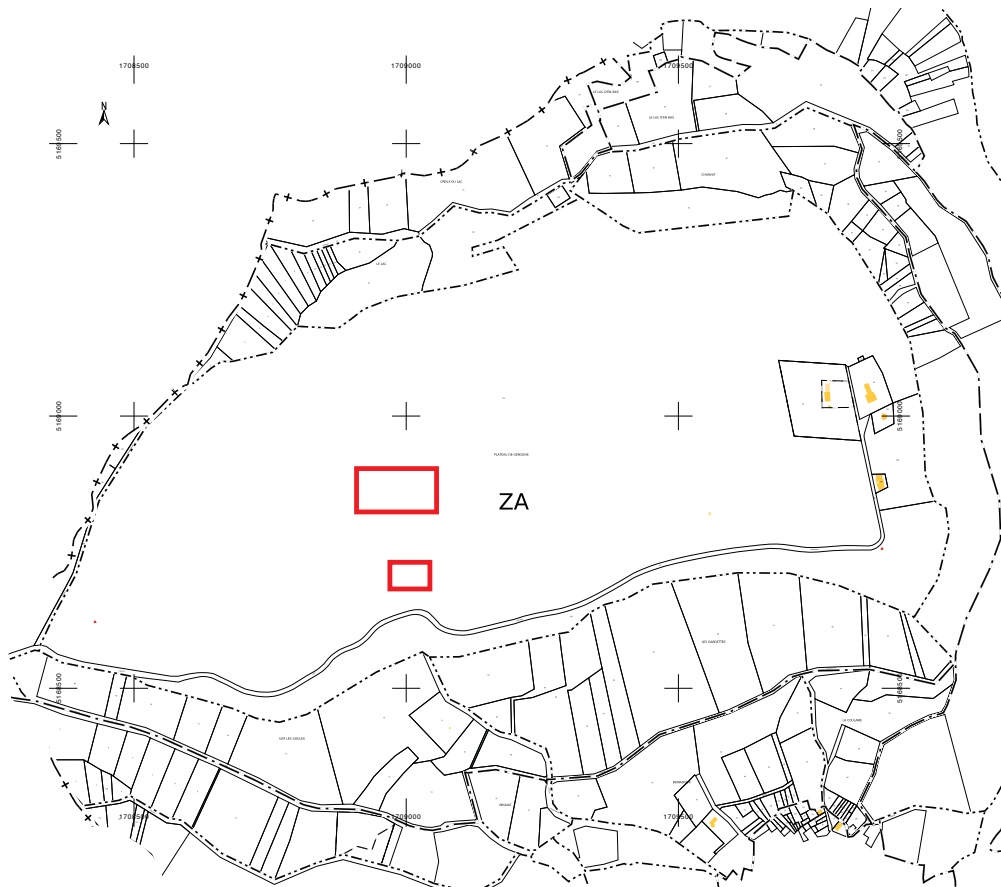


Fig. 3 : Localisation des fouilles de 2018 sur la parcelle 000 ZA 01 - 112. Extrait du cadastre de la commune de La Roche-Blanche, octobre 2013.

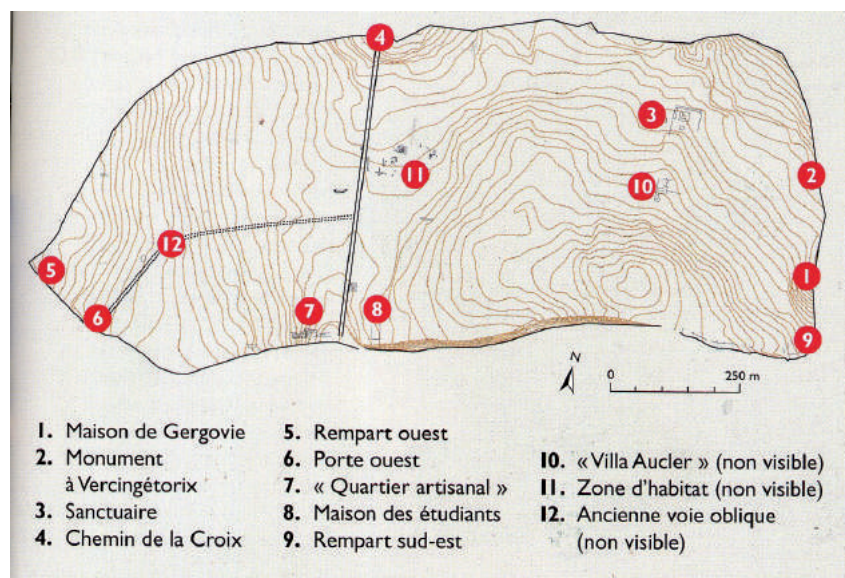


Fig. 4 : Carte du plateau de Gergovie avec les courbes de niveau et l'emplacement des fouilles anciennes. La « dépression centrale » traverse le plateau sur l'axe qui lie les points 4 et 7/8 (Lewuillon 2013, 41).

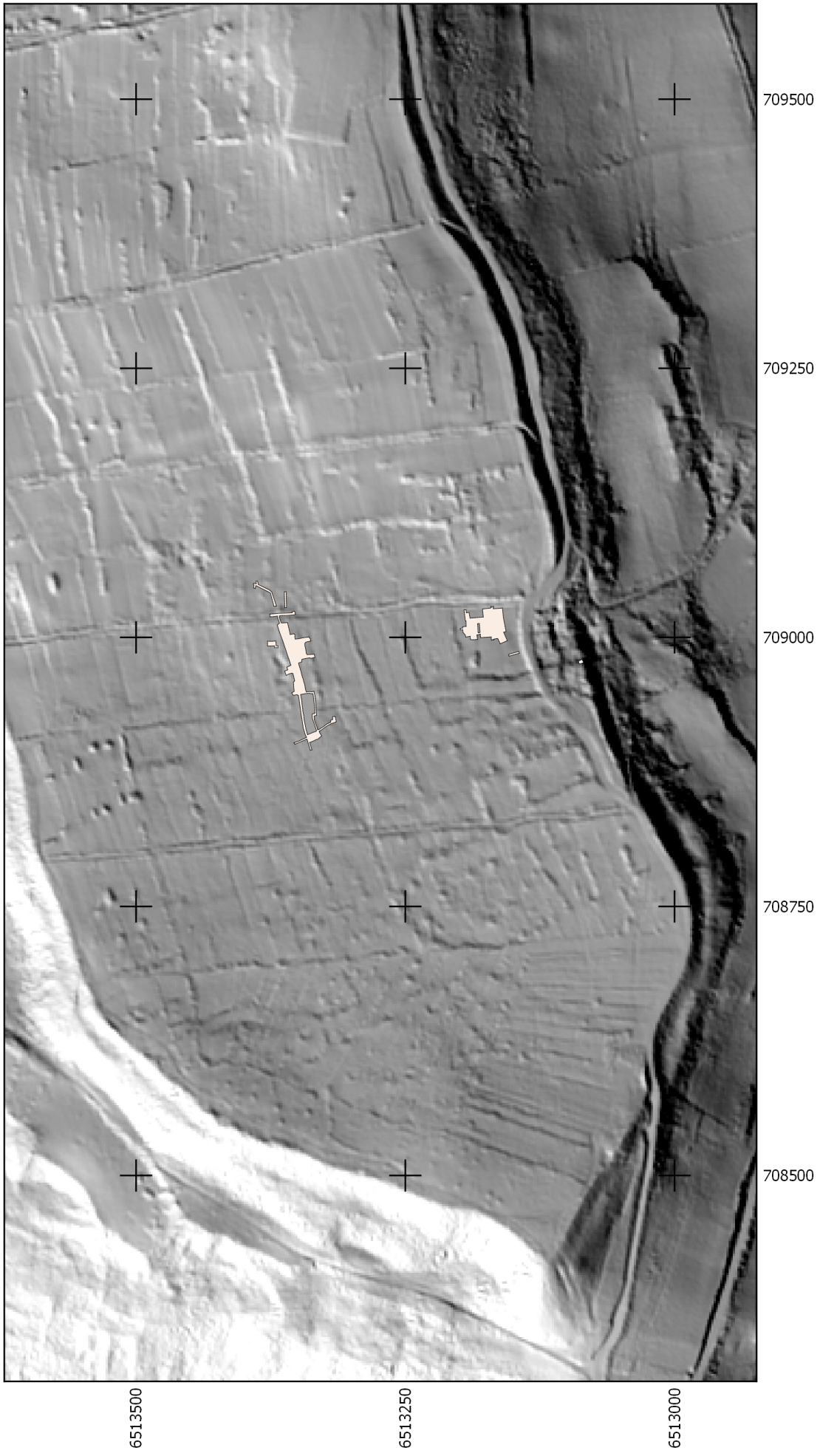


Fig. 5 : Emplacement des espaces fouillés 2013-2018 sur le fond du relevé Lidar de 2013. (Lambert93 / RGF 93; Lidar CRAIG 2013 / InAirTech. DAO P. Jud).

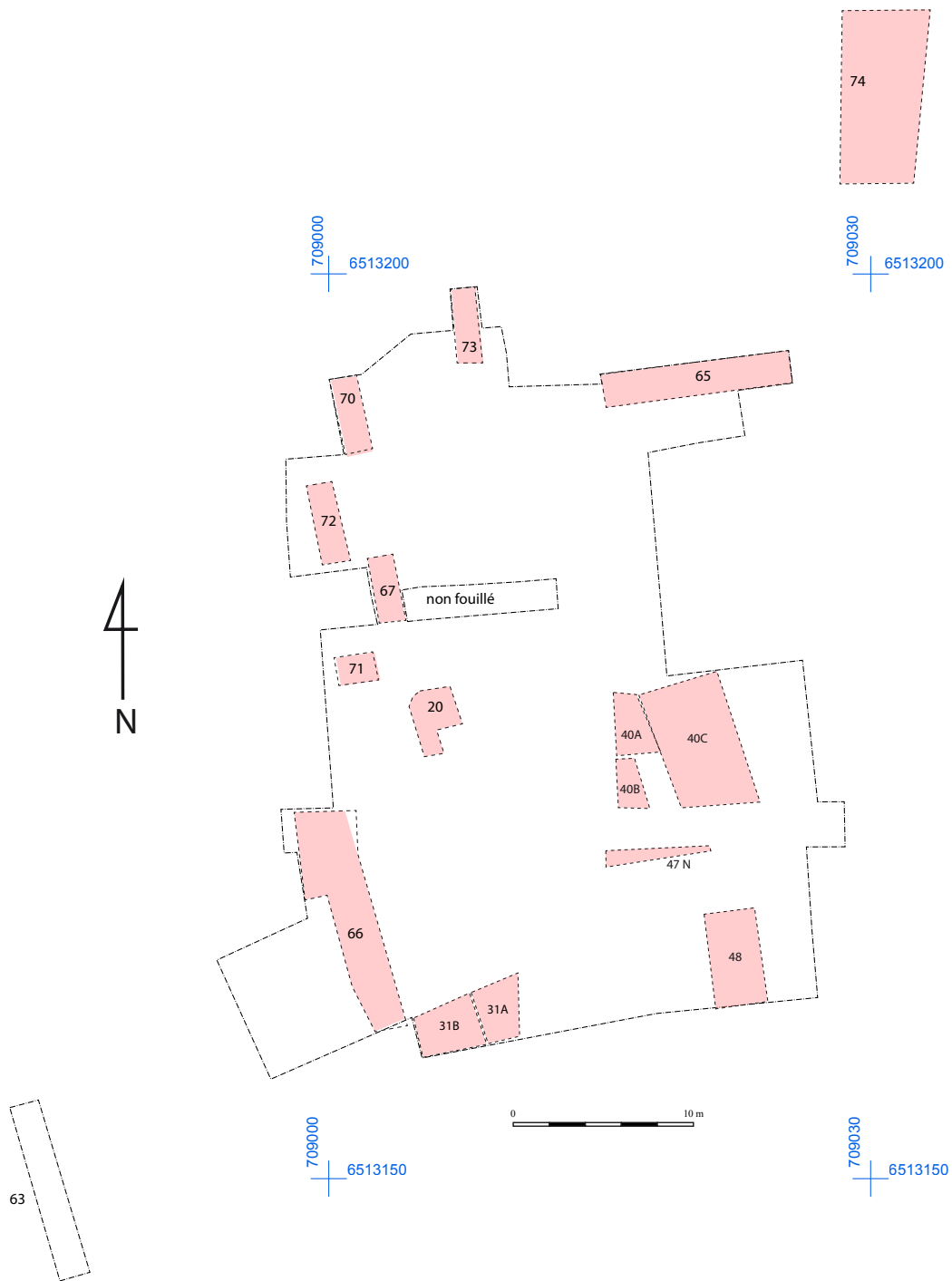


Fig. 6 : Gergovie, porte sud. Localisation des interventions 2018.

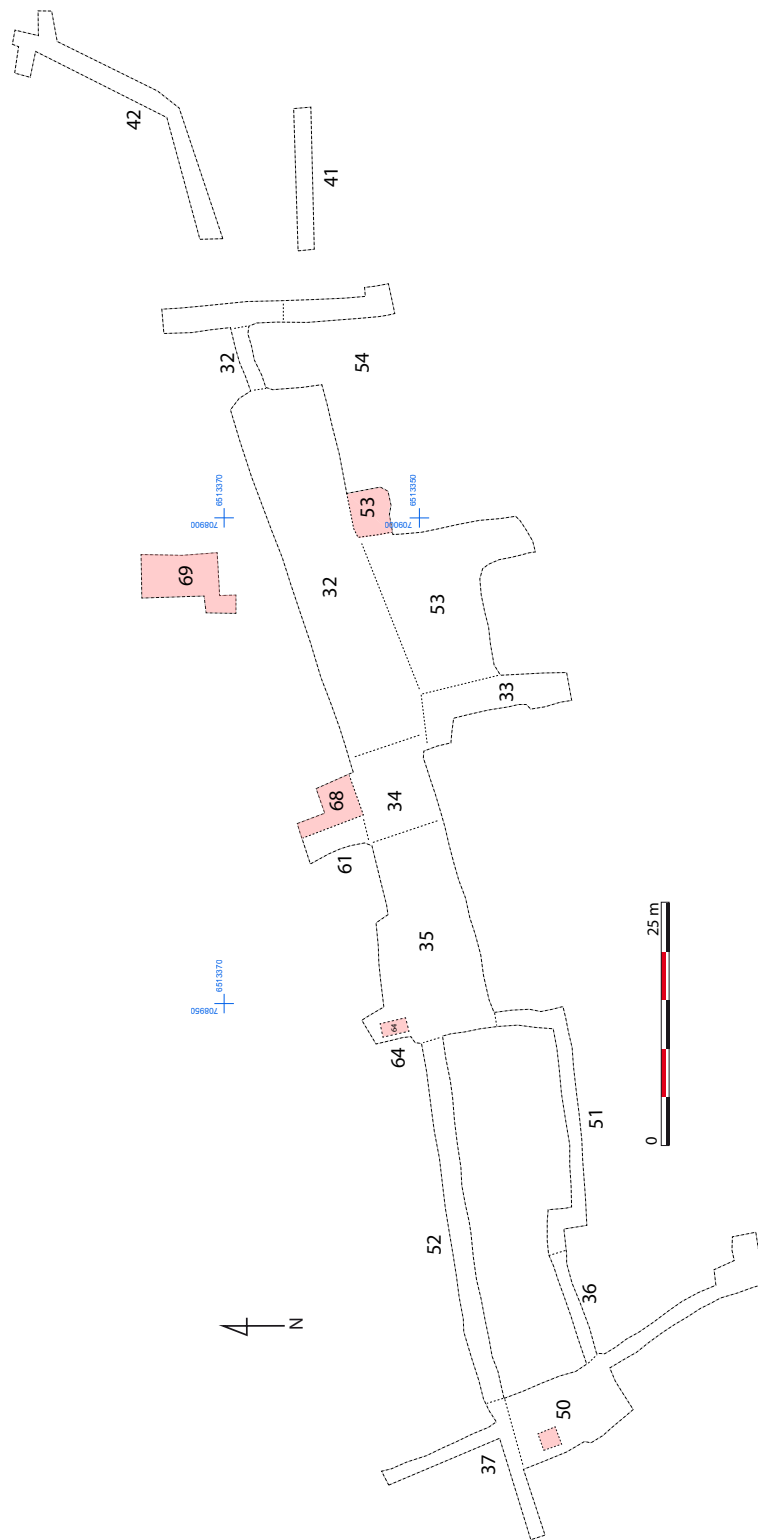


Fig. 7 : Gergovie, centre du plateau. Localisation des interventions 2018.

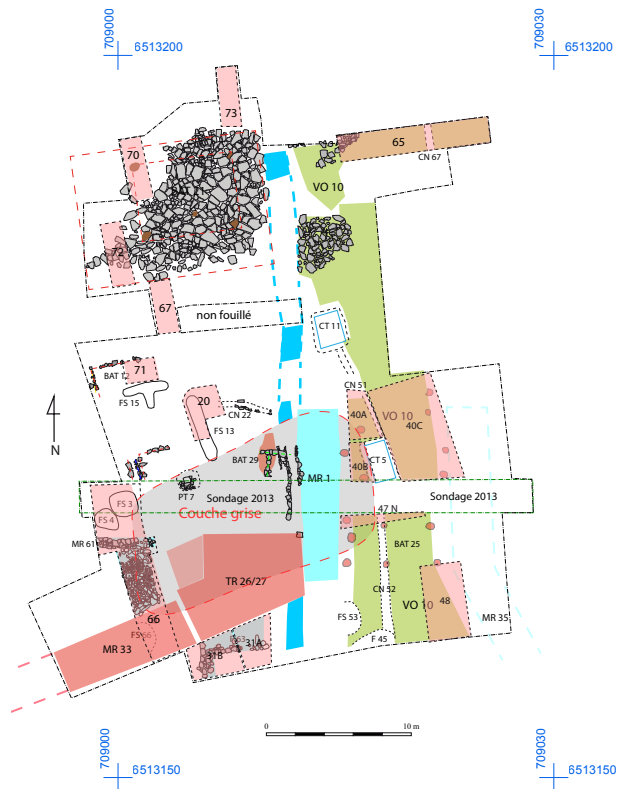


Fig. 8 : Gergovie, porte sud. Extension approximative de la "couche grise" US 52.

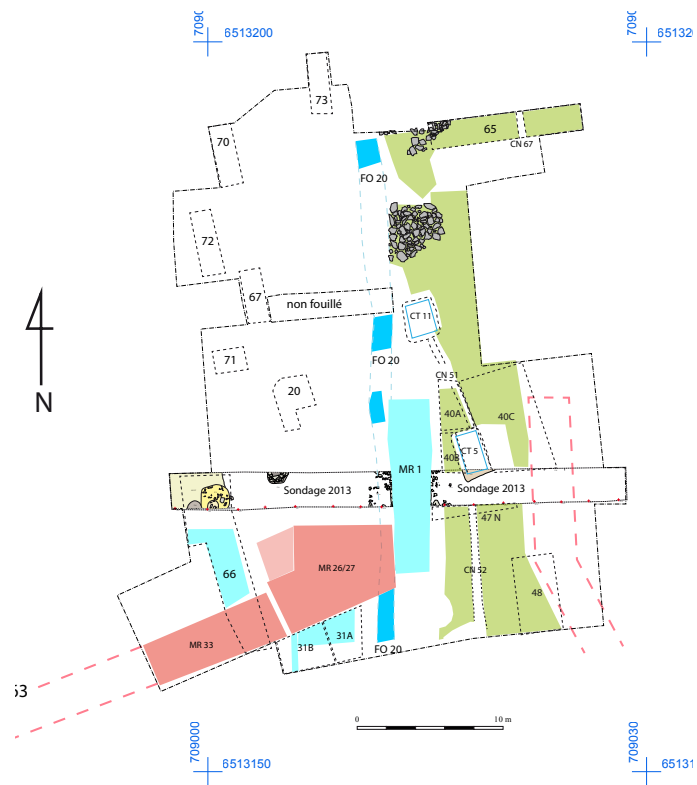


Fig. 9 : Gergovie, porte sud. La voie VO 10 et les secteurs fouillés en 2018.

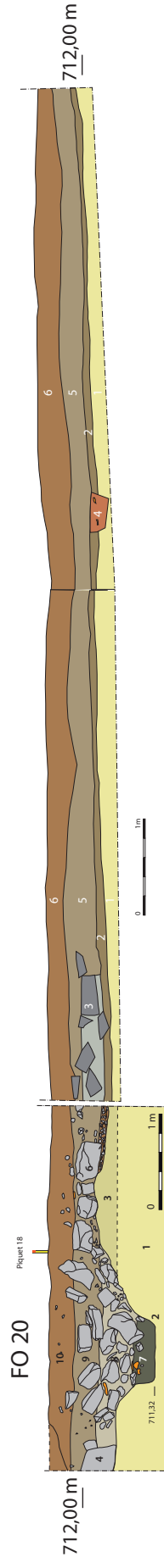


Fig. 10 : Gergovie, porte sud, secteur 48. Bord est du gravier de la voie VO 10 reposant sur le TN. En arrière plan, les TP 276 et 278 du bâtiment de porche BAT 25.



Fig. 11 : Gergovie, porte sud, secteur 40. Gravier de la voie VO 10 à l'est de la citerne CT 5. Les grands blocs font partie du TN.

W Coupe 2015 Coupe 2018 E



- 1 Gravier jaune, chailles : substrat (US 50)
- 2 Creusement FO 20 (US 11)
- 3 Substrat déplacé; talus (US 13)
- 4 Dallage plateforme (US 202)
- 5 Gravier gris de la voie VO 10 (US 112)
- 6 Dallage de la voie VO 10 (US 164)
- 7 Terre grise et gravier jaune (US 210)
- 8 Terre grise et blocs (US 210)
- 9 Terre brune-grise et blocs (US 207)
- 10 Terre végétale (US 200)

- 1 Terrain naturel, argile basaltique
- 2 Gravier damé, assise de base de la voie VO 10 (US 713)
- 3 Dallage de la voie VO 10
- 4 Rigole creusée dans le gravier de la voie (US 728)
- 5 Remblais de terre et de pierres
- 6 Terre végétale

Fig. 12 : Gergovie, porte sud. Coupe du fossé FO 20 et de la voie VO 10 (secteur 65). Relevé Th. West, N. Brot, DAO P. Jud.



Fig. 13 : Gergovie, porte sud. Photo composée du gravier de la voie VO 10 dégagé dans le secteur 13.



Fig. 14 : Gergovie, porte sud. Gravier de la voie VO 10 dans le secteur 65.



Fig. 15 : Gergovie, porte sud. Reste du dallage de la voie VO 10 (US 733), installé sur la couche de gravier (US 713).



Fig. 16 : Gergovie, porte sud, secteur 65. La rigole CN 67 après le démantèlement du gravier de la voie VO 10. Distance entre les croix : 10 m.

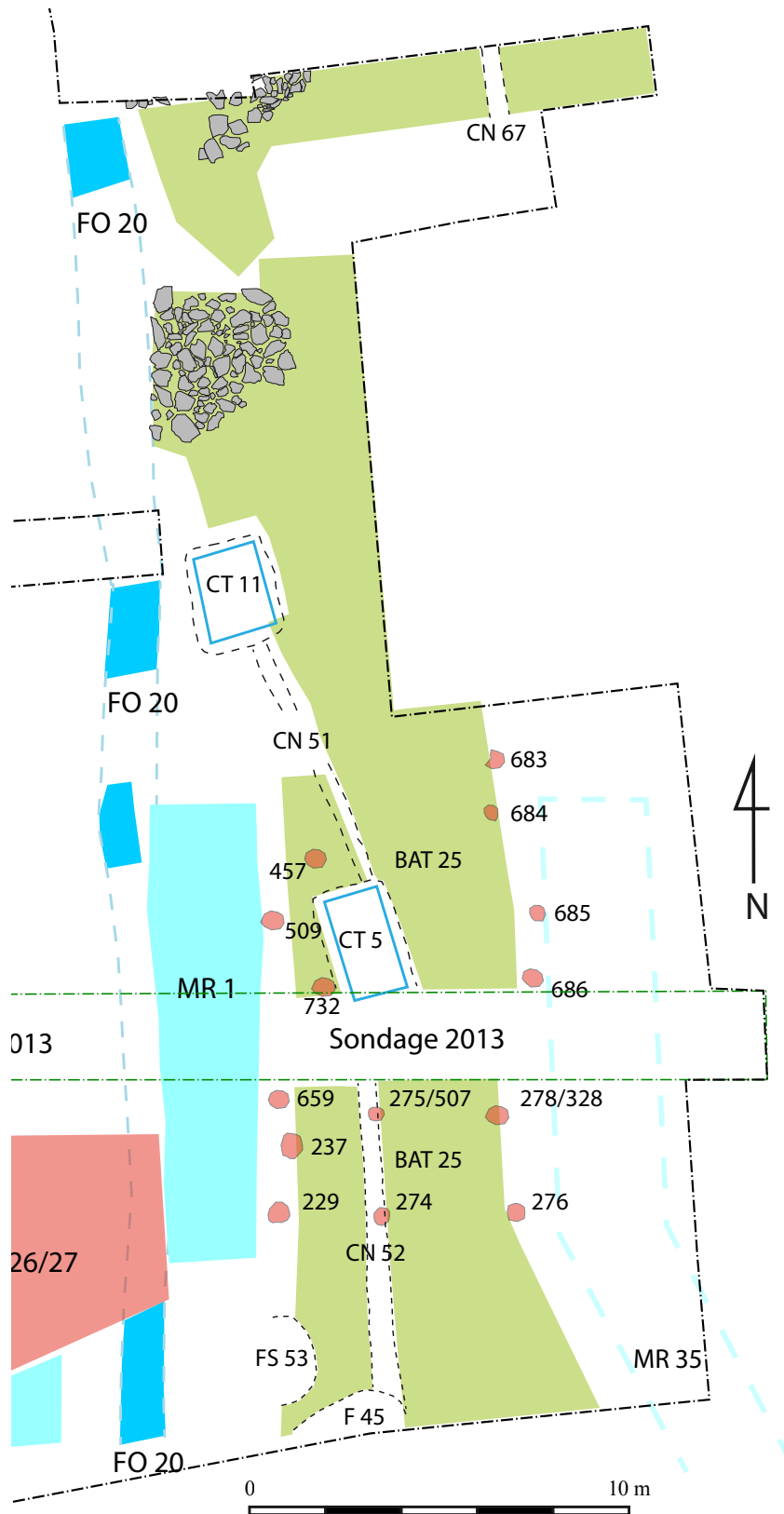


Fig. 17 : Gergovie, porte sud. La voie VO 10, le bâtiment de porche BAT 25 entre les murs MR 1 et MR 35, et les installations hydrauliques.



Fig. 18 : Gergovie, porte sud. Le secteur 40, avec les TP du bâtiment de porche BAT 25, la citerne CT 5 et le caniveau CN 51.



Fig. 19 : Gergovie, porte sud. Le TP 659 du bâtiment de porche BAT 25 avant fouille (secteur 48).



Fig 20 : Gergovie, porte sud. Le TP 659 du bâtiment de porche BAT 25 après fouille.

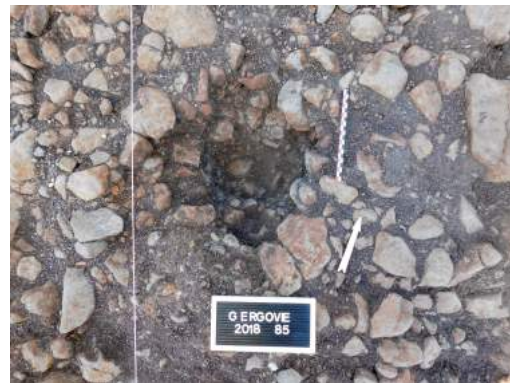


Fig. 21 et 22 : Gergovie porte sud. TP 683 (à gauche) et 684 (à droite) après fouille.



Fig. 23 et 24 : Gergovie, porte sud. TP 685 (à gauche) et 686 (à droite) après fouille.



Fig. 25 : Gergovie, porte sud. Le TP 732 du bâtiment de porche BAT 25, situé entre la citerne CT 5 (à gauche) et le mur MR 1 (à droite).



Fig. 26 : Gergovie, porte sud. La citerne CT 5 en cours de fouille.



Fig. 27 : Gergovie, porte sud. Vue zénithale sur la citerne CT 5.



Fig . 28 et 29 : Gergovie porte sud. A gauche, le caniveau CN 51 au nord de la citerne CT 5. A droite, la parois de citerne CT 5 vue de l'extérieur. L'eau s'infiltré à travers du mur.

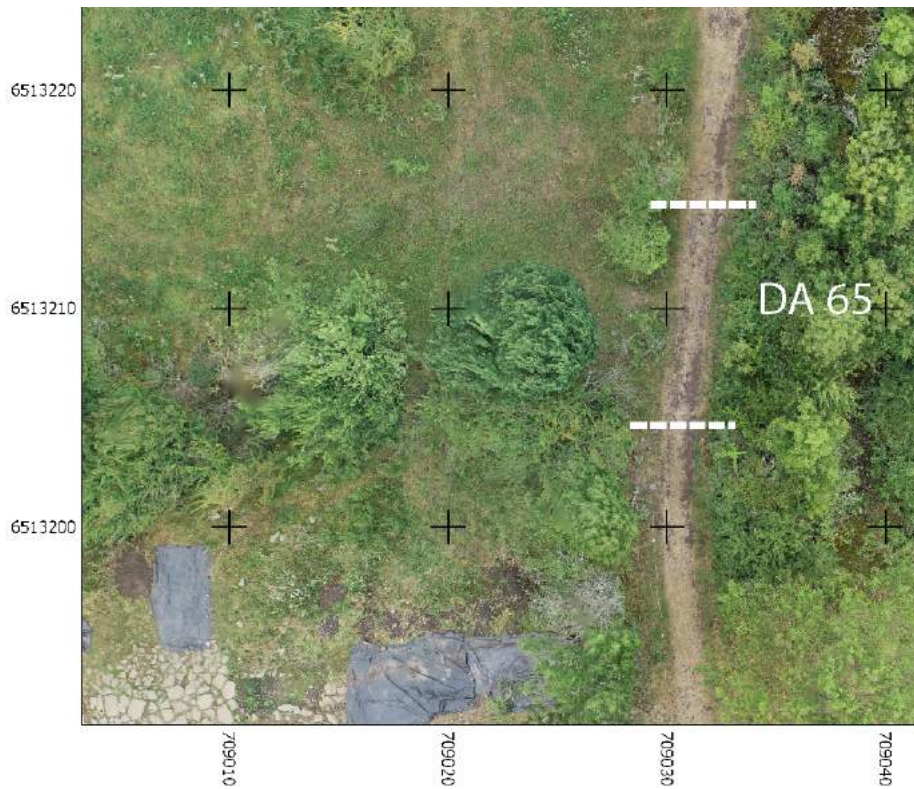


Fig. 30 : Gergovie, porte sud. Photo géoréférencée du dallage DA 65, apparu sur le Chemin de la Croix a cause de la sécheresse estivale.

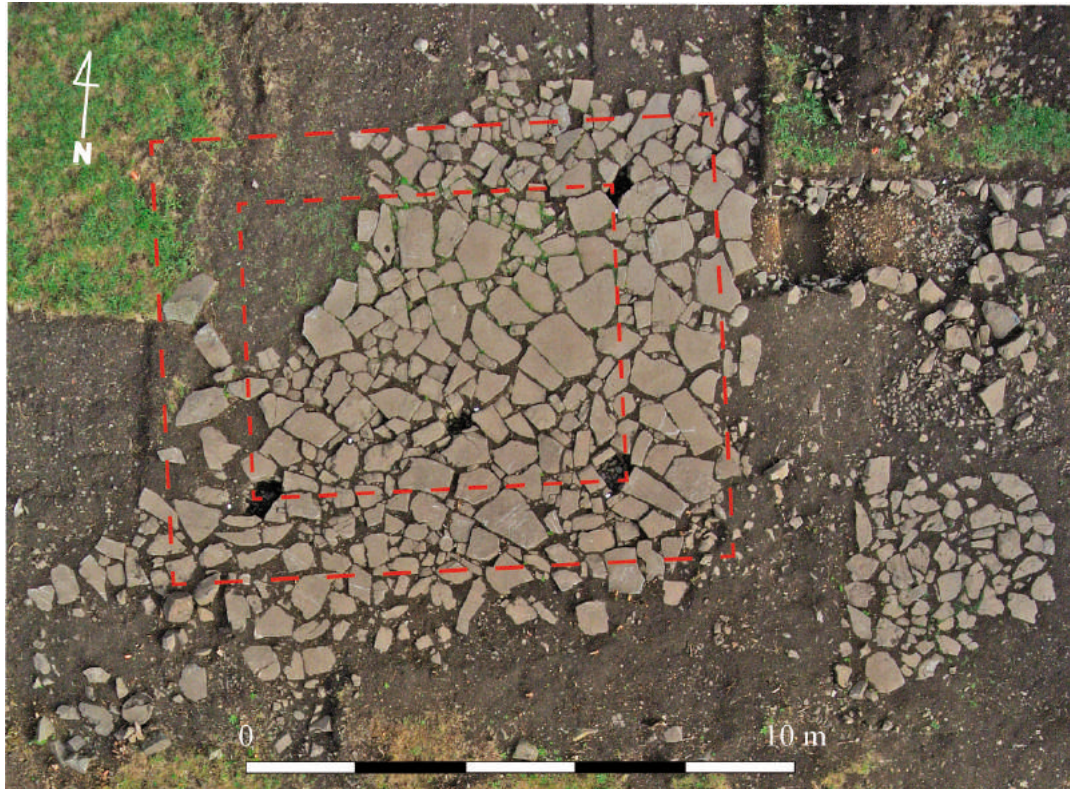


Fig. 31 : Gergovie, porte sud. Le dallage US 202 dégagé en 2015 avec le bâtiment BAT 21. A droite le fossé FO 20 et le reste du dallage de la voie VO 10.

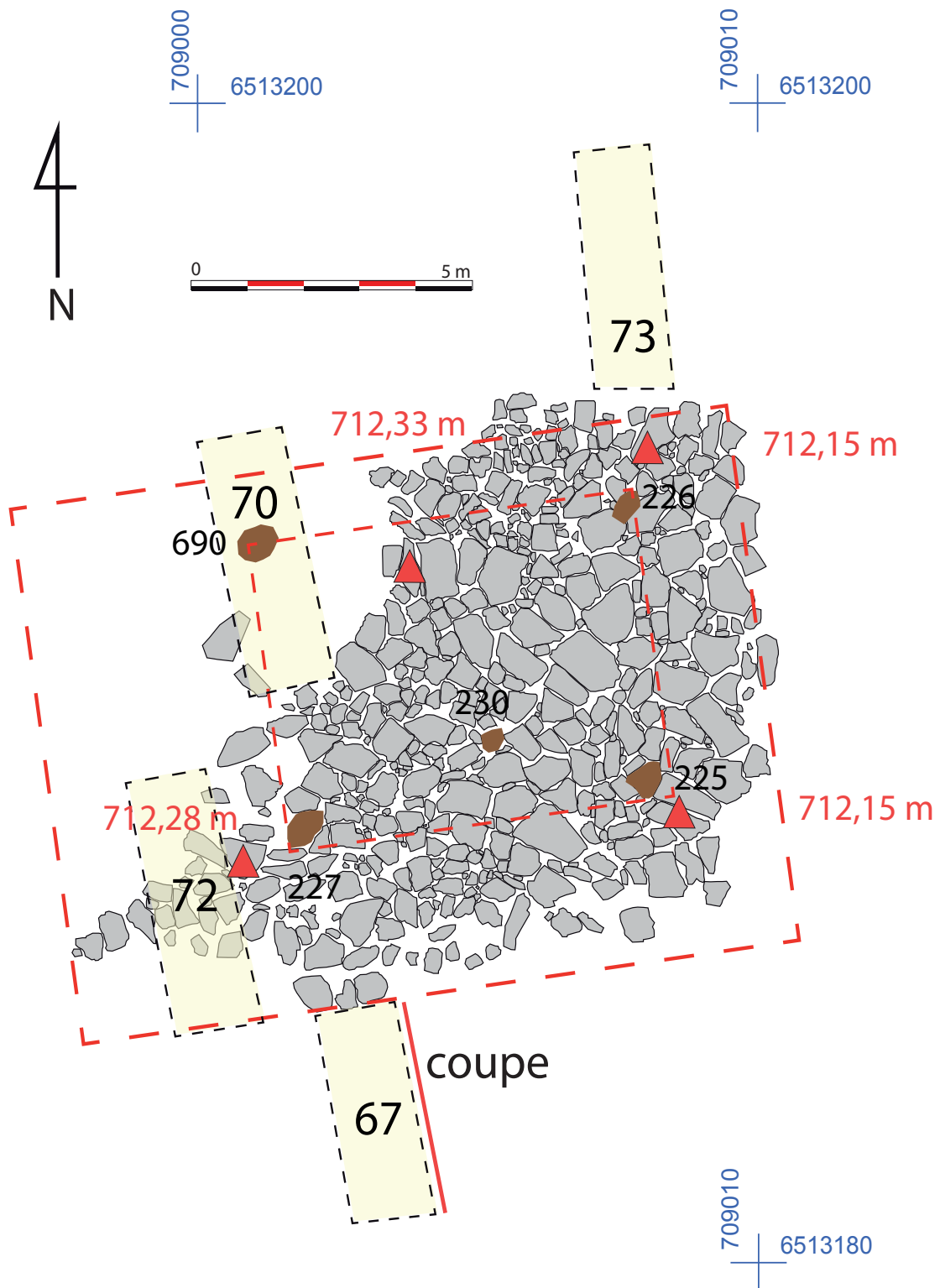


Fig. 32 : Gergovie, porte sud. Le dallage US 202 et les TP du bâtiment BAT 21, avec les secteurs fouillés en 2018.

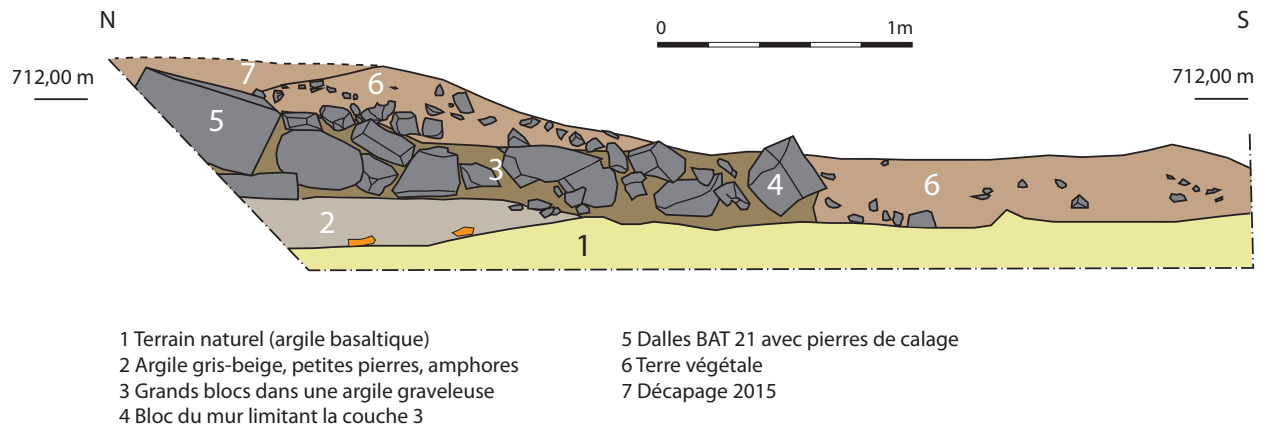


Fig. 33 : Gergovie, porte sud. Secteur 67, coupe est (C 14) au sud de la plateforme du bâtiment BAT 21.



Fig. 34 : Gergovie, porte sud. La partie nord de la coupe C 14 du secteur 67.



Fig. 35 : Gergovie, porte sud, secteur 67. Couche de fondation en cours de fouille.



Fig. 36 : Gergovie, porte sud, secteur 67. Mur de pierre limitant la couche de fondation.



Fig 37 : Gergovie, porte sud, sondage 67. Vu sur la bordure sud du dallage US 202 et les pierres de callage.



Fig. 38 : Gergovie, porte sud, secteur 67. La rangée des pierres de calage dépasse la limite sud du dallage US 202.

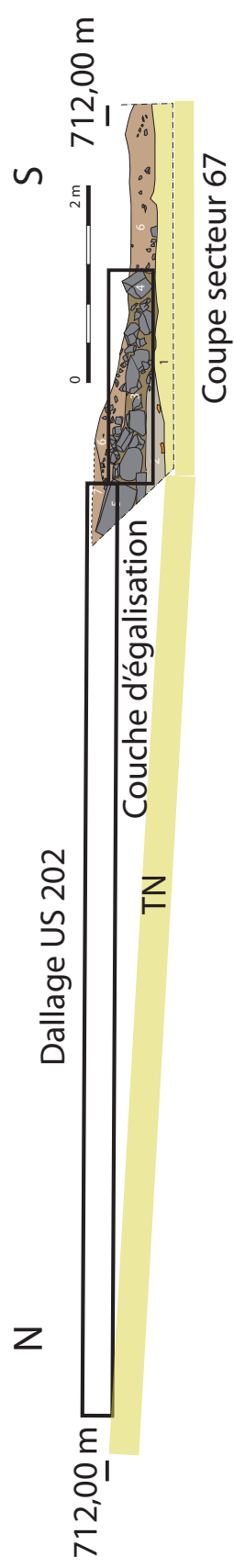


Fig. 39 : Gergovie, porte sud. Coupe imaginaire de la plateforme du bâtiment BAT 21 et du terre-plein avancé.



Fig. 40 : Gergovie, porte sud. Couche de pierres au sud des dalles encore en place du secteur 72.



Fig. 41 : Gergovie, porte sud. Couche de pierres au nord des dalles encore en place du secteur 72.



Fig. 42 : Gergovie, porte sud. Dalles isolées du secteur 70; la couche de fondation commence à apparaître.



Fig. 43 : Gergovie, porte sud. Au milieu du sondage 70, des pierres de calage et une céramique écrasée sur place matérialise le fond du TP 690.



Fig. 44 : Gergovie, porte sud. Couche de fondation en dessous des dalles isolées du secteur 70.



Fig. 45 : Gergovie, porte sud. La fosse US 717 dans la partie nord du secteur 70 a été creusée après le démantèlement partiel du dallage de la plateforme.

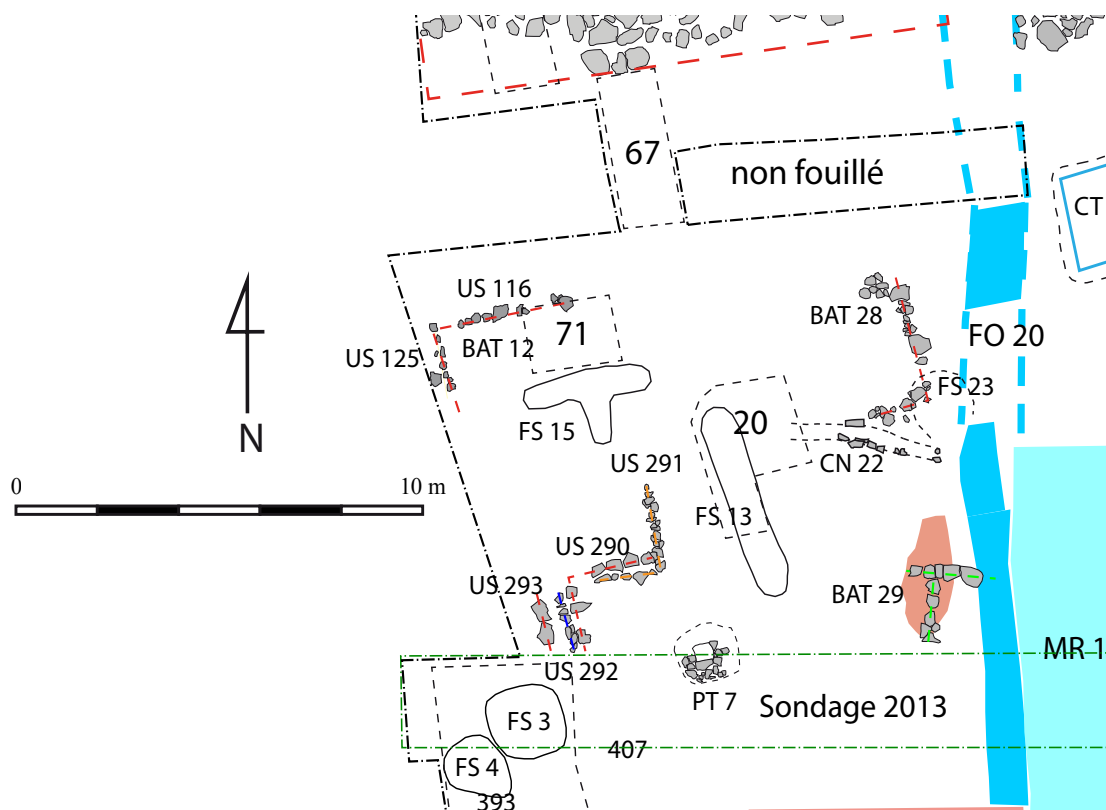


Fig. 46 : Gergovie, porte sud. Le secteur au nord du sondage de 2013 avec les vestiges d'une occupation de l'époque augustéenne : BAT 28, BAT 29, BAT 12, la fosse FS 15, la cave FS 13 et le puits PT 7.



Fig. 47 : Gergovie, porte sud. Le sol US 676 du bâtiment BAT 12 au nord de la fosse FS 15 (secteur 71).



Fig. 48 : Gergovie, porte sud. Cailloutis US 688 en dessous du sol du bâtiment BAT 12.



Fig. 49 : Gergovie, porte sud. La fosse FS 13 en cours de fouille. Le creusement de la fosse s'est arrêté sur une couche de pierres géologique.



Fig. 50 : Gergovie, porte sud. Le bout nord de la fosse FS 13 en fin de fouille.



Fig. 51 : Gergovie, porte sud. La stratigraphie visible dans la paroi ouest de la fosse FS 13.

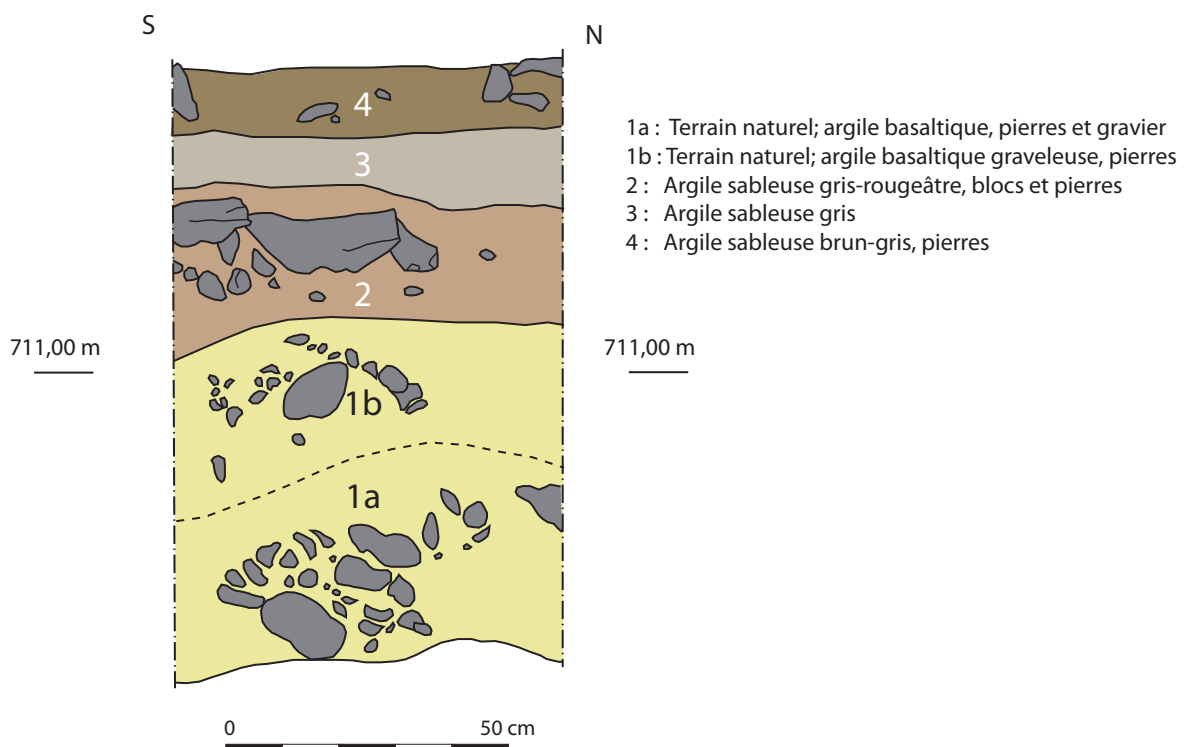


Fig. 52 : Gergovie, porte sud. Dessin de la stratigraphie visible dans la paroi ouest de la fosse FS 13 (coupe C 15).



Fig. 53 : Gergovie, porte sud. Les fosses FS 3 (au milieu) et FS 4 (à droite en bas) sur le fond du sondage de 2013.



Fig. 54 : Gergovie, porte sud. Le remplissage de la fosse FS 3.



Fig. 55 : Gergovie, porte sud. La fosse FS 3 en fin de fouille.



Fig. 56 : Gergovie, porte sud. La fosse FS 4 après la vidange. A gauche et en bas, la fosse FS 3.

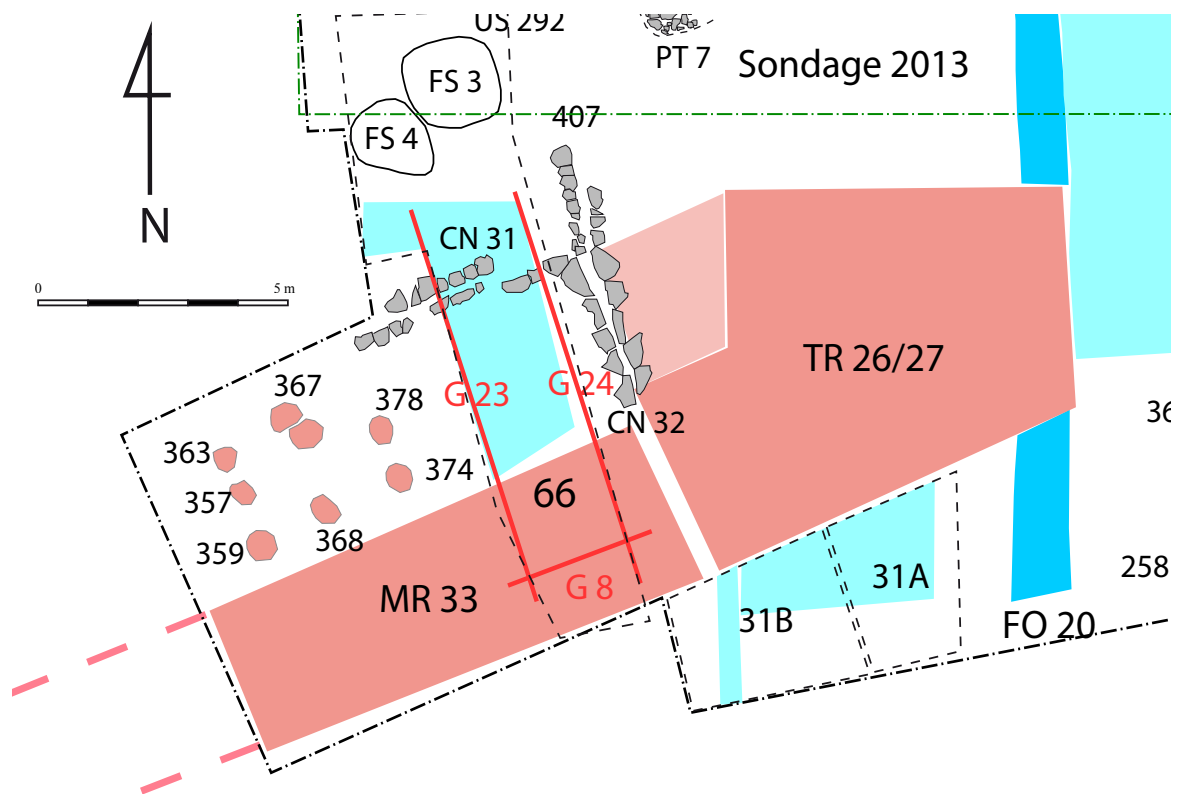


Fig. 57 : Gergovie, porte sud. Extrait du plan général avec l'emplacement du secteur 66 et des coupes G 8, G 23 et G 24.



Fig. 58 : Gergovie, porte sud. Le secteur 66 vu du sud. En avant-plan le rempart MR 33, à droite le caniveau CN 32 qui marque la limite avec la tour TR 26/27. En arrière-plan le caniveau CN 31.



Fig. 59 : Gergovie, porte sud. Fouille de la partie sud du rempart MR 33. Entre les grands blocs du parement extérieur et le parement interne, un blocage de pierres forment le cœur du rempart.



Fig. 60 : Gergovie, porte sud. Le parement interne du MR 33 repose sur une couche de pierres imbriquées dans une argile beige. La fosse FS 66 recouverte par le MR 33 apparaît dans la partie ouest du secteur fouillé.



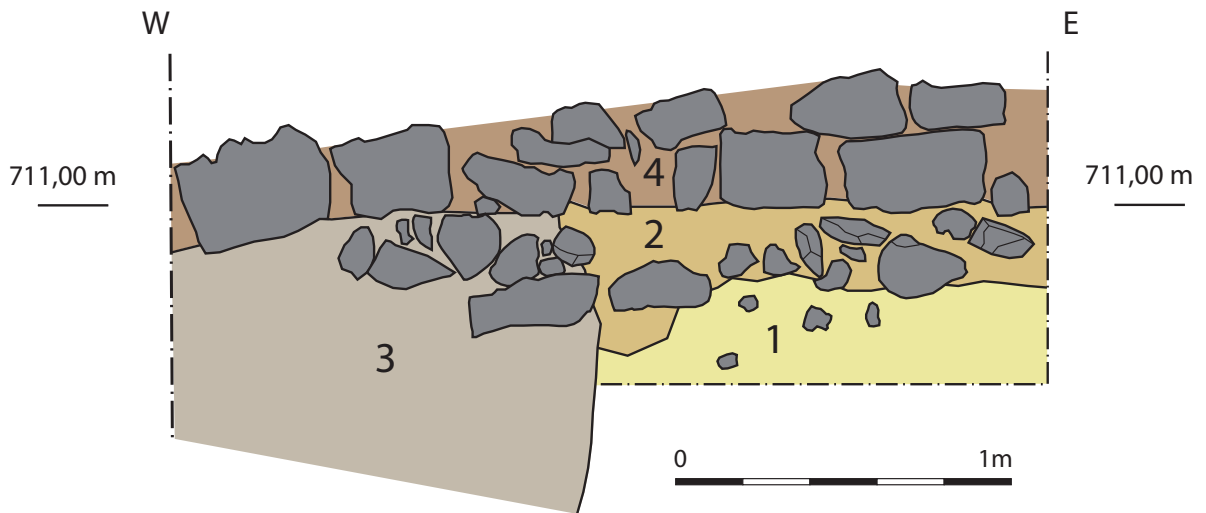
Fig. 61 : Gergovie, porte sud. Vidange partielle de la fosse FS 66.



Fig. 62 : Gergovie, porte sud. Apparition de la couche d'argile beige (terrain naturel ?) à l'est de la fosse FS 66.



Fig. 63 : Gergovie, porte sud. Coupe sur la ligne du parement interne du mur MR 33.



- 1 : Terrain naturel; argile basaltique graveleuse, pierres
- 2 : Argile graveleuse beige (TN déplacé ?)
- 3 : Fosse FS 66, remplie de pierres et blocs
- 4 : Parement intérieur du mur de repart MR 33

Fig. 64 : Gergovie, porte sud. Coupe sur la ligne du parement interne du mur MR 33. (Relevé T. Simoulin, DAO P. Jud).



Fig. 65 : Gergovie, porte sud. Partie nord du rempart MR 33, entre le parement interne et le parement intérieur (sous l'échelle). A droite les blocs du parement extérieur et la fosse FS 66.



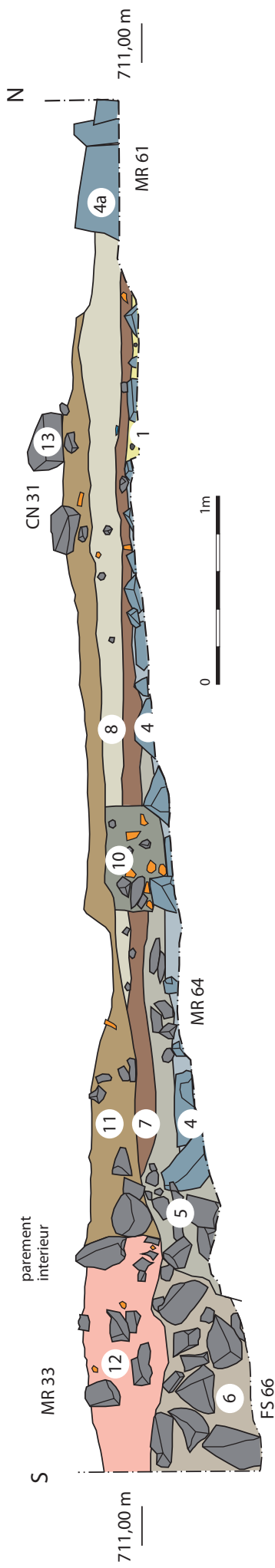
Fig. 66 : Gergovie, porte sud. Le parement intérieur du rempart MR 33, composé de grandes pierres posées de chant.



Fig. 67 : Gergovie, porte sud. Fin de fouille du rempart MR 33. La fosse FS 66 s'arrête au nord sur la ligne du parement intérieur du rempart, mais au sud elle passe sous le parement extérieur.



Fig. 68 : Gergovie, porte sud. Les blocs du caniveau CN 32 et le mur MR 44 (sous le fil blanc) au N du mur MR 33 après la fouille de la couche de remblais.



- 1 Gravier jaunâtre, TN
- 2 Gravier rougeâtre, sans mobilier, TN
- 3 Couches fines d'argile marron, oxydes de fer, charbons de bois
- 4 Blocs et pierres du mur MR 64
- 4a Blocs du mur MR 61
- 5 Argile graveleuse beige
- 6 Pierres et blocs dans une matrice de terre grise (Fosse FS 66)

- 7 Argile sableuse brunâtre, cailloutis, céramiques
- 8 Argile graveleuse beige, hétérogène, peu de mobilier
- 9 Couche argilo-sableuse marron-grise, cailloutis
- 10 Argile sableuse grise-brune, pierres, amphores (US 722)
- 11 Terre grise foncé, pierres, gravier fin, cailloutis
- 12 Gros blocs, pierres, terre fine grise (rempart MR 33)
- 13 Blocs du caniveau CN 31

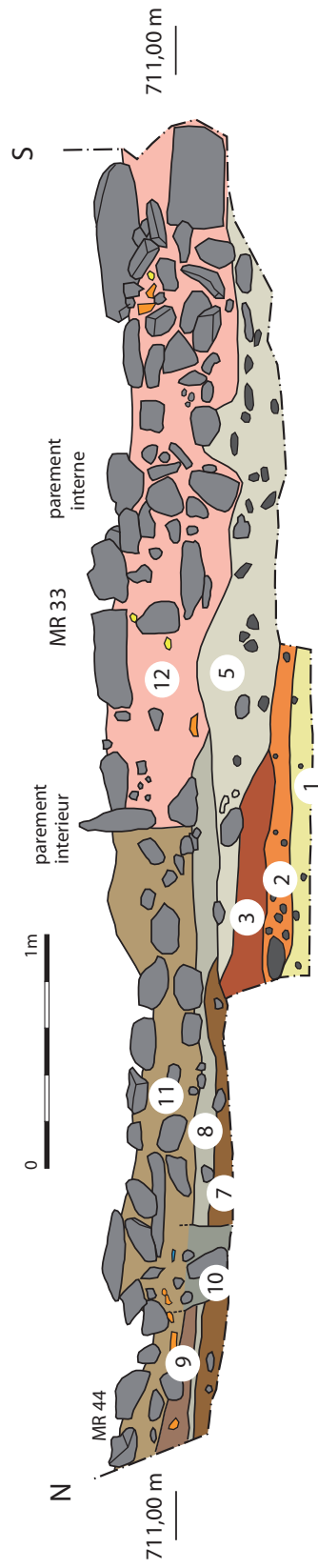


Fig. 69 : Gergovie, porte sud. Coupes Ouest (en haut) et Est du secteur 66, traversant les mur de fortification MR 33 et MR 64/61. Relevé Sybil Berenice et Julia Bucher, DAO P. Jud.



Fig. 70 : Gergovie, porte sud. Le tracé de la petite tranchée US 722 remplie de pierres et de fragments d'amphores au niveau de la couche 7. En premier plan, le MR 44.



Fig. 71 : Gergovie, porte sud. Le fond du TP 730 sur le blocage du mur MR 64. En arrière-plan, la petite tranchée US 722 se dessine dans la coupe Est.

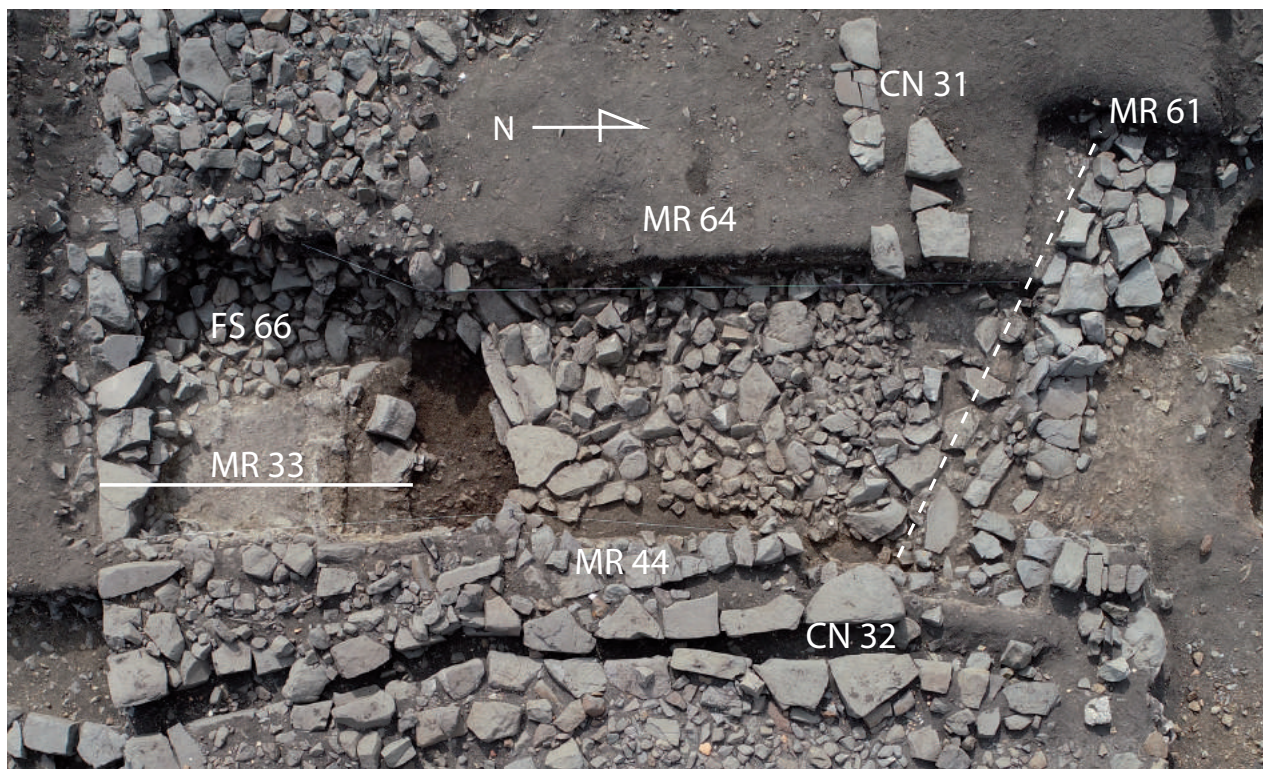


Fig. 72 : Gergovie, porte sud. Assise de pierres au fond du secteur 66, en arrière du mur de fortification MR 33. Le mur MR 61 est orienté est-ouest.



Fig. 73 : Gergovie, porte sud. Le secteur 31A dégagé en 2017 au niveau inférieur des blocs du parement externe du MR 26/27. Apparition du blocage F 63 et du cailloutis US 737 à l'est.



Fig. 74 : Gergovie, porte sud. Les structures en pierres devant la tour TR 26/27. En premier plan le mur MR 62, en arrière plan la structure rectangulaire F 63. Les deux structures continuent sous le TR 26/27.



Fig. 75 : Gergovie, porte sud. A l'ouest du mur MR 62 la couche de gravier beige, à l'est apparaît le TN.



Fig. 76 : Gergovie, porte sud. La structure en pierres F 63 de forme rectangulaire se poursuit sous le front du TR 26/27.

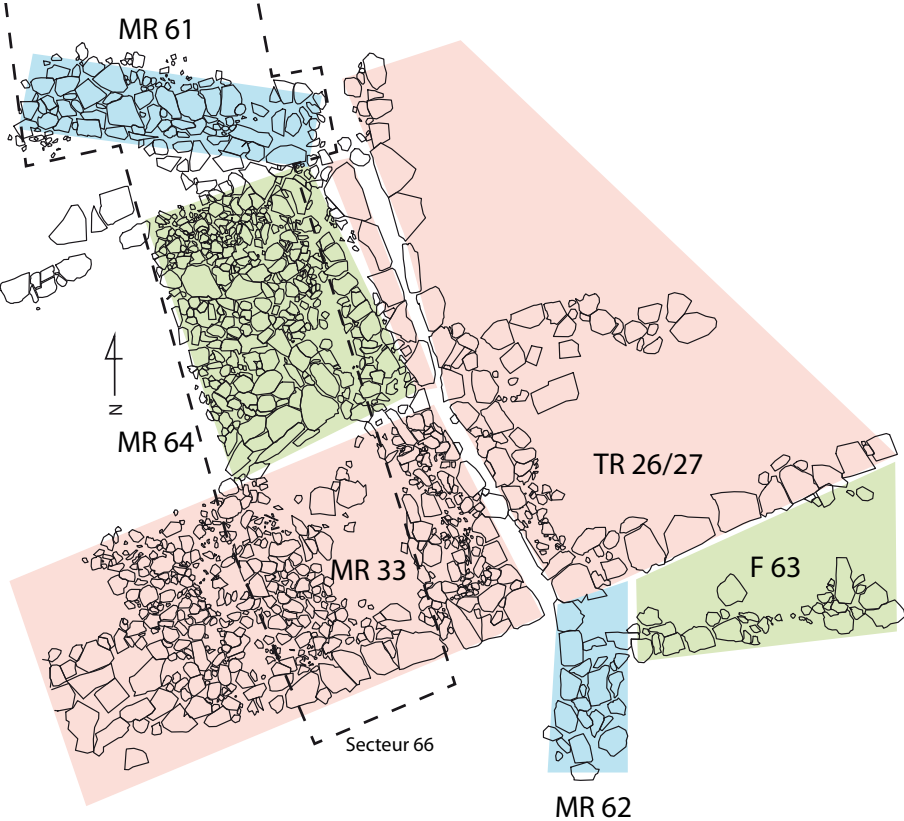


Fig. 77 : Gergovie, porte sud. Relevé pierre-à-pierre de la première fortification (en bleu et vert) et de la deuxième fortification en rouge).



Fig. 78 : Gergovie, porte sud. Orientation des éléments de la fortification ancienne (lignes bleus) et de la reconstruction (lignes rouges).

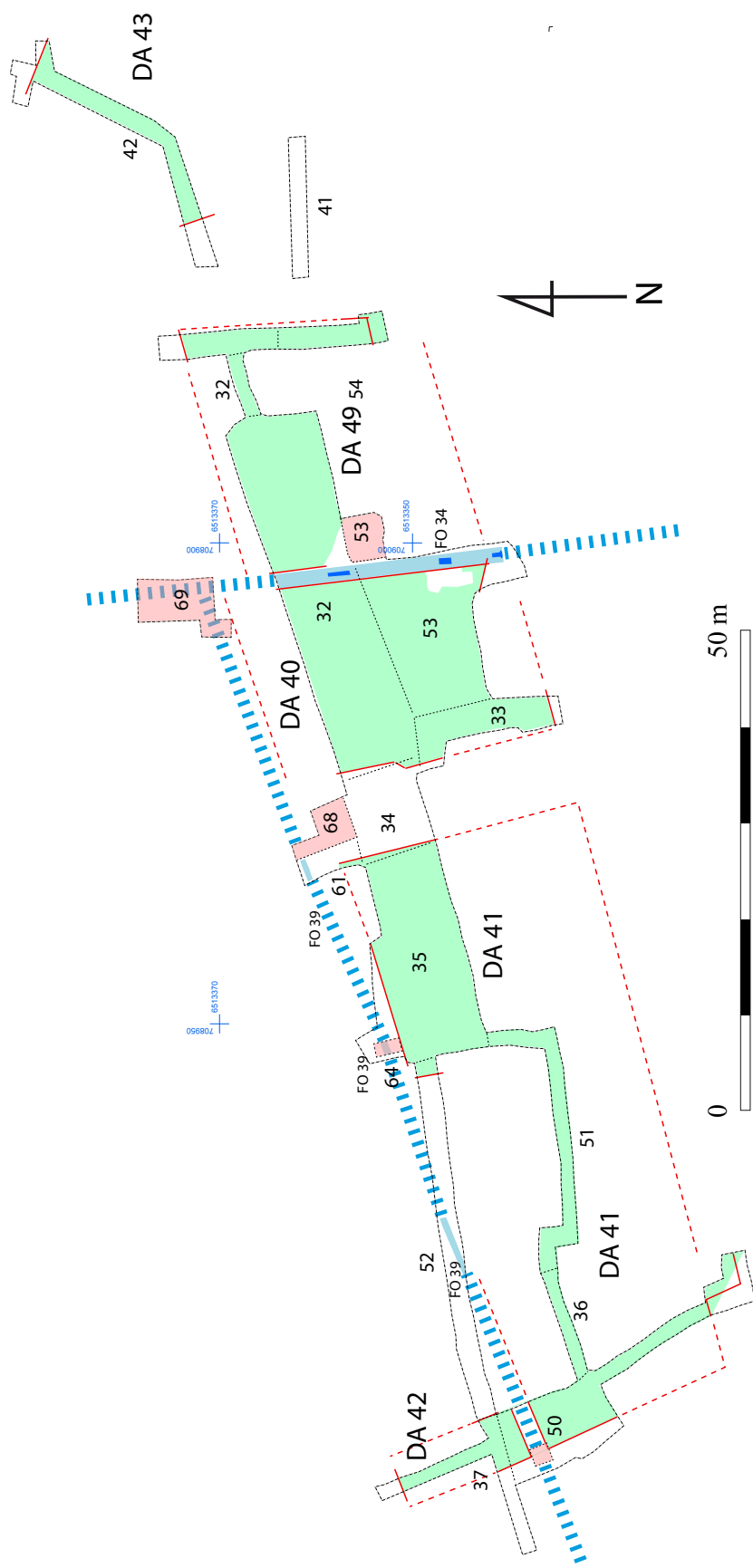


Fig. 79 : Gergovie, centre du plateau. Les dallages (en vert) et les fossés parceliaires (en bleu), avec les secteurs d'intervention de 2018 (en rouge).

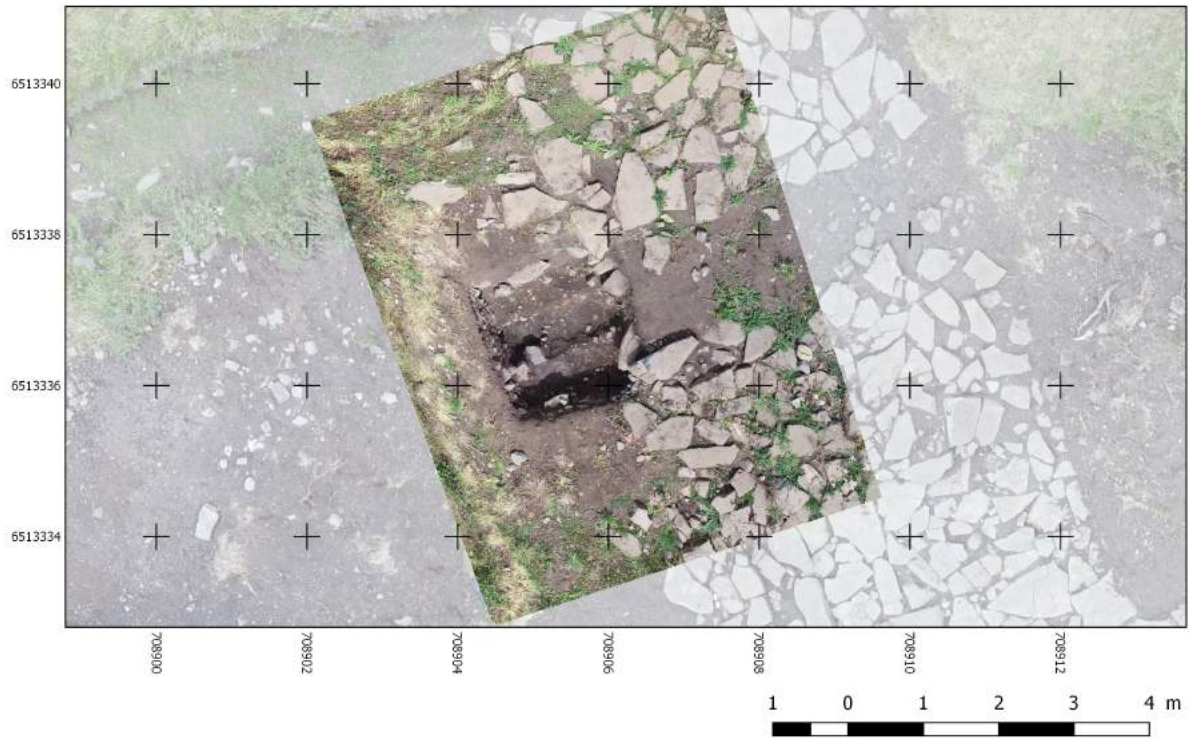
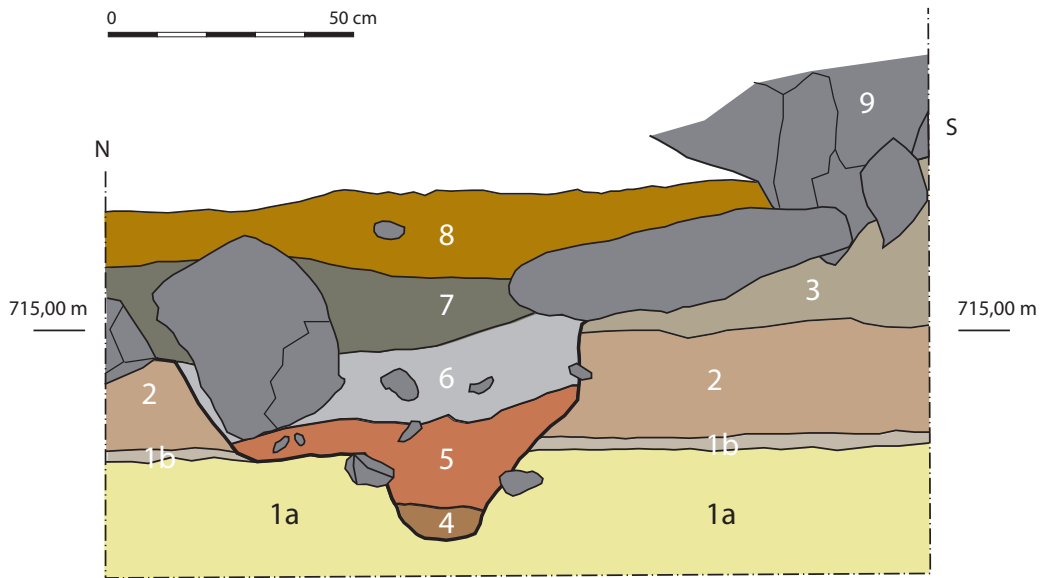


Fig. 80 : Gergovie, centre du plateau. Sondage sur le fossé FS 39 à l'ouest des dallages DA 41 (en bas) et DA 42 (en haut).



- | | |
|---|--------------------------------|
| 1a Terrain naturel : Argile basaltique, pierres | 6 Argile grise |
| 1b Terrain naturel : Argile foncée | 7 Argile grise foncée |
| 2 Argile brune/rougeâtre, compacte | 8 Argile sableuse, brune/grise |
| 3 Argile grise, sableuse | 9 Dallage DA 41 |
| 4 Pierres, argile brune (fond FO 39) | |
| 5 Argile brune/rougeâtre | |

Fig. 81 : Gergovie, centre du plateau. Secteur 50, coupe C 34 sur le fossé FS 39. Relevé N. Hanker, DAO P. Jud.



Fig. 82 : Gergovie, centre du plateau. Secteur 50, coupe C 34 sur le fossé FS 39.



Fig. 83 : Gergovie, centre du plateau. Le sondage 64 sur le fossé FS 39, juste au N du dallage DA 41.



Fig. 84 : Gergovie, centre du plateau. Le fond du fossé FS 39 dans le secteur 64, avec les traces d'un élément en bois posé au milieu du fossé.

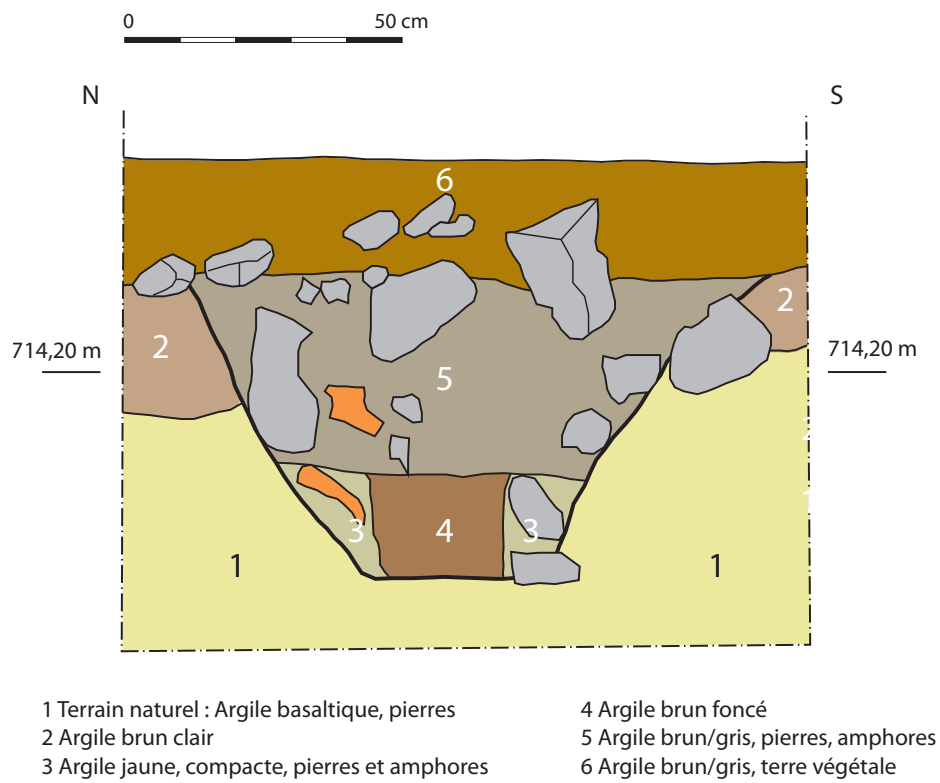


Fig. 85 : Gergovie, centre du plateau. Coupe est dans le fossé FS 39. Relevé J. Horny, DAO P. Jud.



Fig. 86 : Gergovie, centre du plateau. Le secteur 68 avec le tracé du fossé FO 39 sur la limite N de l'emprise.



Fig. 87 : Gergovie, centre du plateau. Le fossé FO 39 dans le secteur 68 après vidange.

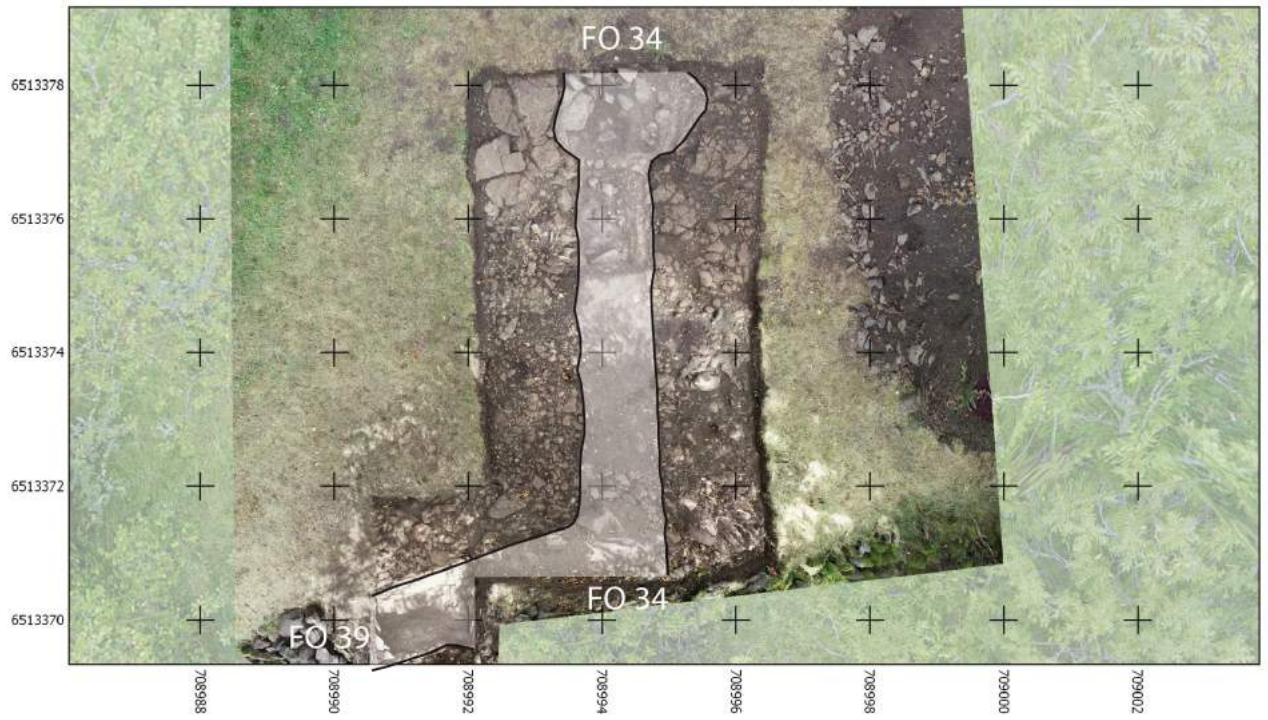


Fig. 88 : Gergovie, centre du plateau. Jonction entre les fossés FO 39 ET FO 34 dans le secteur 68.



Fig. 89 : Gergovie, centre du plateau. Le fossé FO 39 apparaît sous la terre végétale, au niveau du terrain naturel.



Fig. 90 : Gergovie, centre du plateau. Les premières dalles du dallage DA 40 au sud du fossé FO 39, posées sur une couche de terre grise.



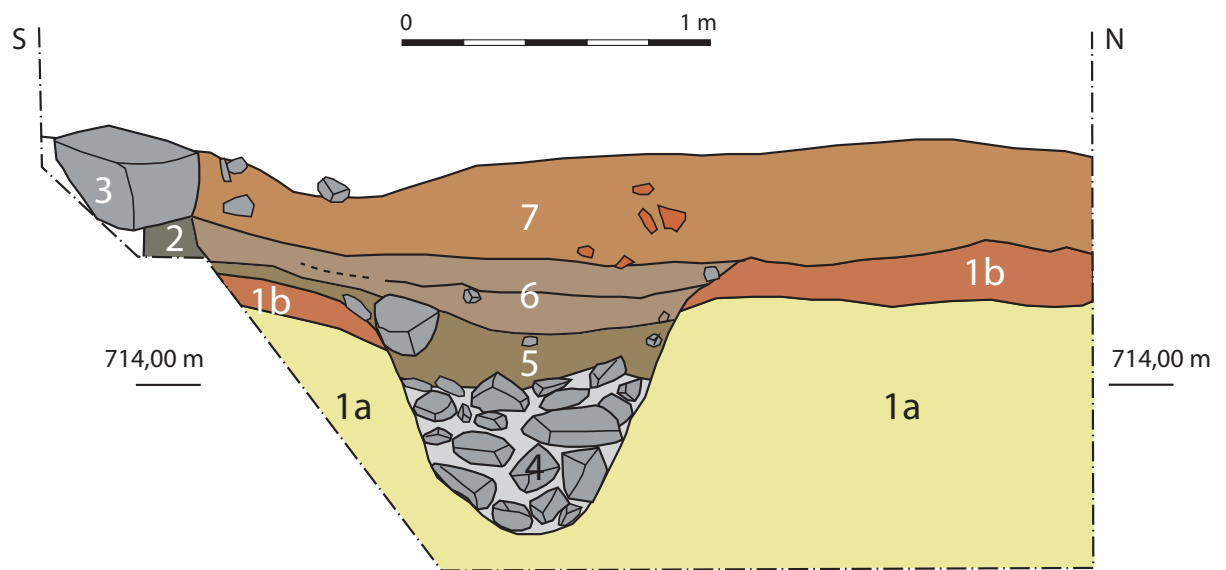
Fig. 91 : Gergovie, centre du plateau. Le fond du fossé FO 39 rempli de pierres. Les plus grandes pierres dans la partie est forment une sorte de mur (voir fig. 92).



Fig. 92 : Gergovie, centre du plateau. Le remplissage du fond du fossé FO 39 après la fouille des petites pierres à l'ouest.



Fig. 93 : Gergovie, centre du plateau. Coupe C 35 sur le fossé FO 39 à l'est du secteur 68 (La coupe n'est pas exactement à angle droit par rapport à l'axe du fossé). A gauche les dalles du dallage DA 40, recouvertes par les éboulis du mur de parcelle moderne.



1a Terrain naturel : argile basaltique
 1b Terrain naturel : pierres orangeâtres
 2 Argile gris foncé, compacte
 3 Dalle DA 40

4 Blocage de pierres
 5 Argile brun-gris compacte
 6 Argile brun-gris plus meuble
 7 Terre végétale

Fig. 94 : Gergovie, centre du plateau. Coupe C 35 sur le fossé FO 39 à l'est du secteur 68 (La coupe n'est pas exactement à angle droit par rapport à l'axe du fossé). (Relevé S. Berenice, DAO P. Jud).



Fig. 95 : Gergovie, centre du plateau. Le secteur 69 vu du NE, avec le puisard et le fossé FO 34 en cours de fouille. Au fond à droite la section fouillée du FO 39 juste devant les dalles. A l'arrière plan à gauche, le dallage DA 49.



Fig. 96 : Gergovie, centre du plateau. Le puisard FS 17 et le fossé FO 34 en fin de fouille.



Fig. 97 : Gergovie, centre du plateau. Fouille de 2017, secteur 61, dernier décapage: Apparition de deux blocs posés dans une fosse sur la coupe est. En bas de l'image, deux autres blocs posés sur la dernière couche sur le terrain naturel. A droite, l'angle NE du dallage DA 41.



Fig. 98 : Gergovie, centre du plateau. Les grands blocs à l'angle NE du dallage DA 41.

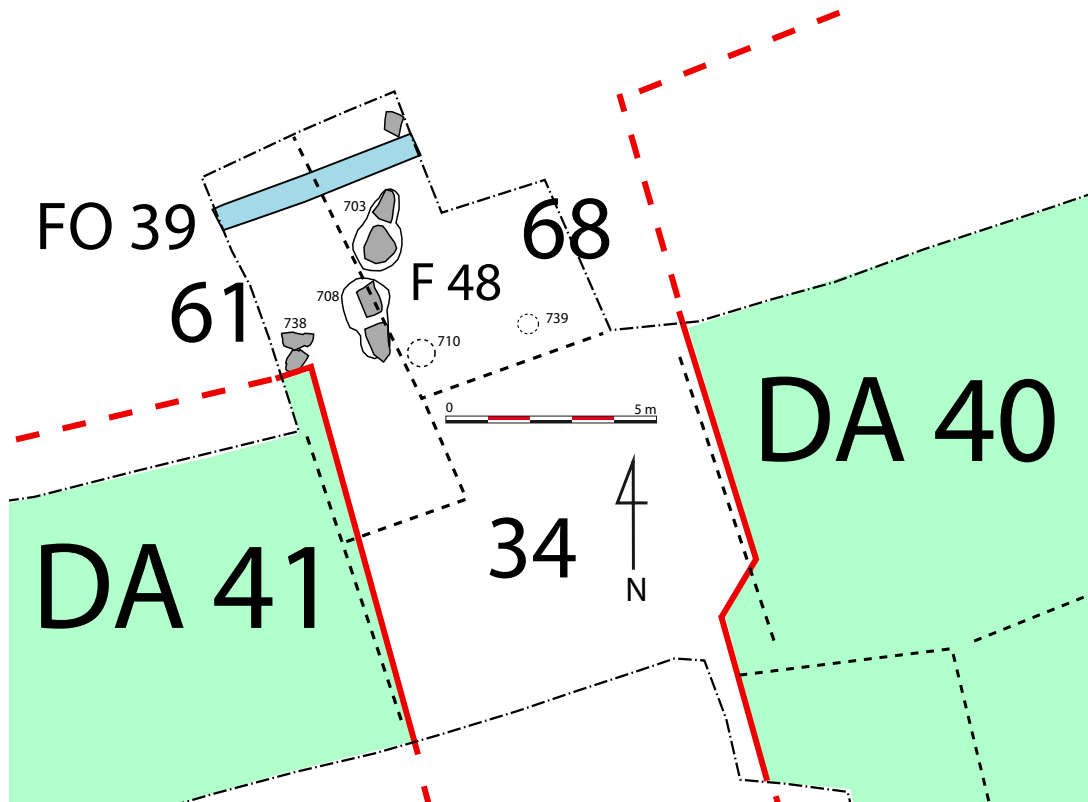


Fig. 99 : Gergovie, centre du plateau. Plan de la zone entre les dallages DA 41 et DA 40.



Fig. 100 : Gergovie, centre du plateau. Les pierres de calage du TP US 710 sur le bord ouest du secteur 68.



Fig. 101 : Gergovie, centre du plateau. Passage du fossé FO 34 entre les dallages DA 40 et DA 49, et les espaces fouillés en 2016 et 2018.

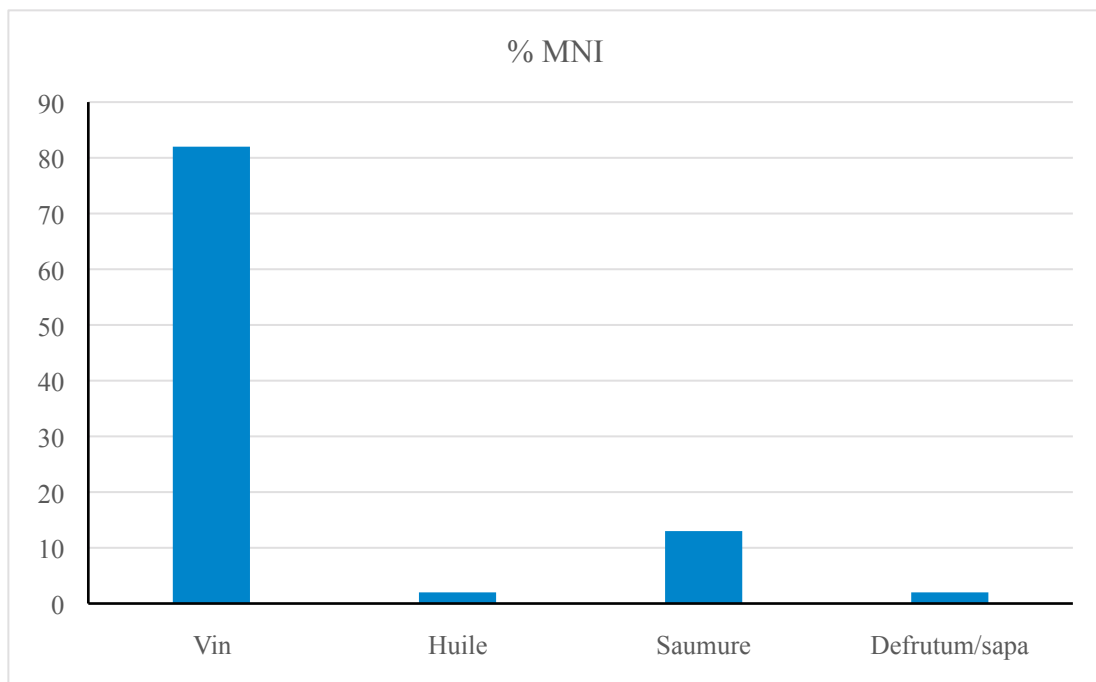


Fig. 102 : Gergovie fouille 2018 : Le contenu des amphores (NMI: 171).

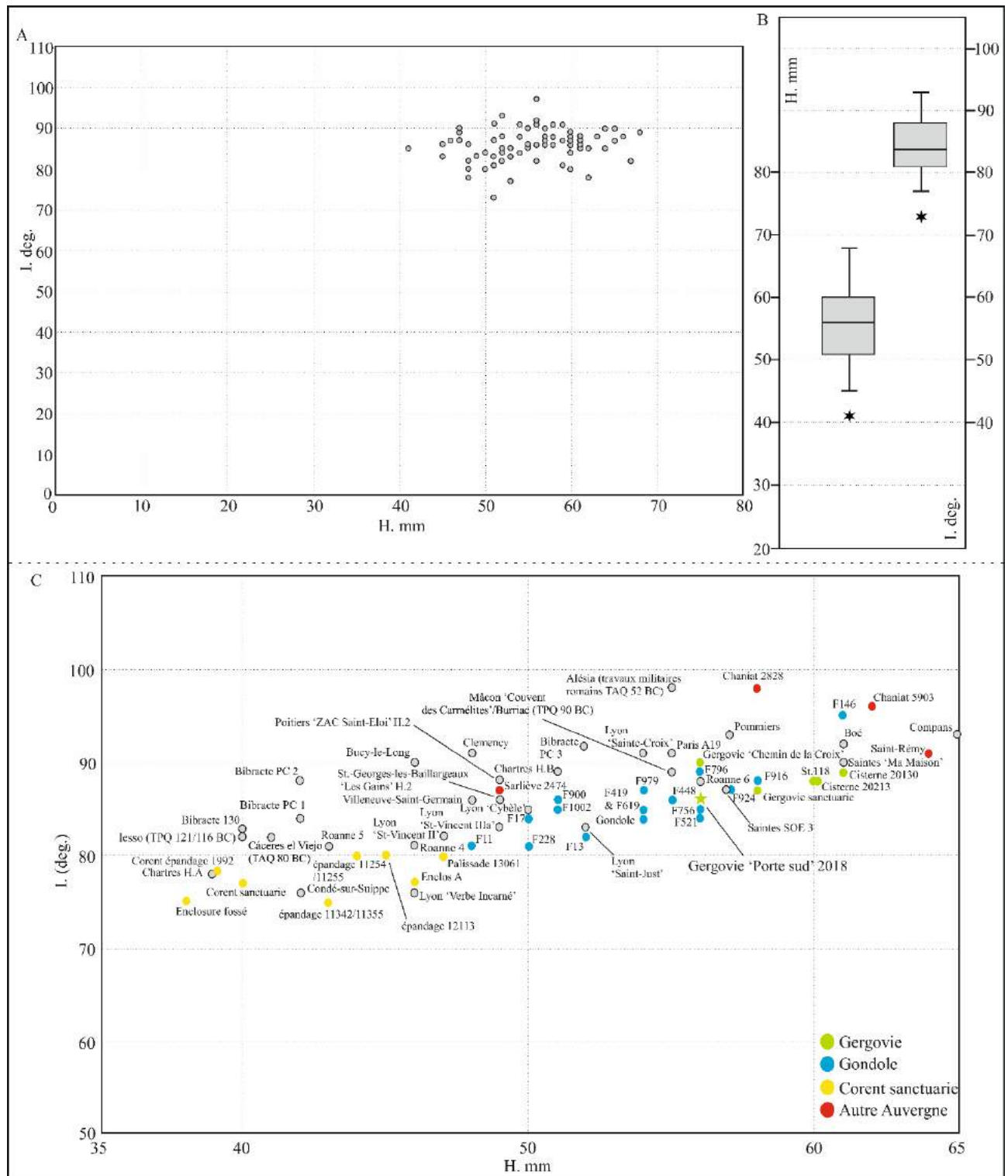


Fig. 103 : Gergovie fouille 2018, morphologie des amphores Dressel 1.

A : distribution des lèvres en fonction de leur hauteur et inclinaison.

B : intervalles de variation pour les hauteurs et inclinaisons des lèvres.

C : comparaison des lots de Gergovie (en vert olive) avec plusieurs ensembles auvergnats, de Gaule et de Méditerranée (comparaisons des hauteurs et inclinaisons moyennes calculées pour les lèvres de chaque ensemble).

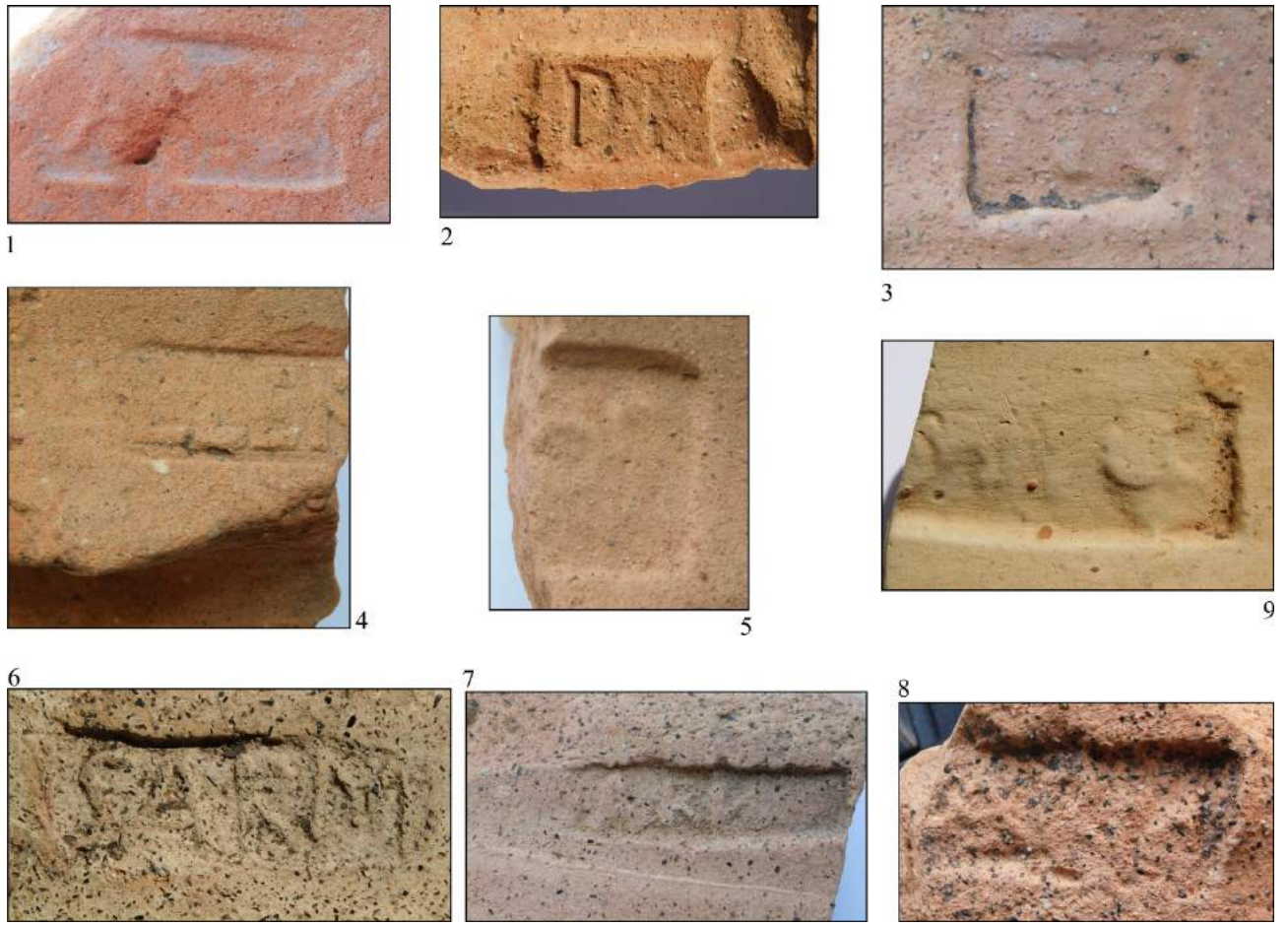


Fig. 104 : Gergovie fouille 2018 : Les timbres d'amphore. 1-8 : Dressel 1, 9 : Lamboglia 2.



Fig. 105 : Gergovie fouille 2018 : bouchons d'amphores en céramique. 1 : FS 13 US 259 (Cadiz), 2 : US 271 (Cadiz) 3 : US 626 (Adriatique), 4 : FS 13 US 665 (Cadiz).

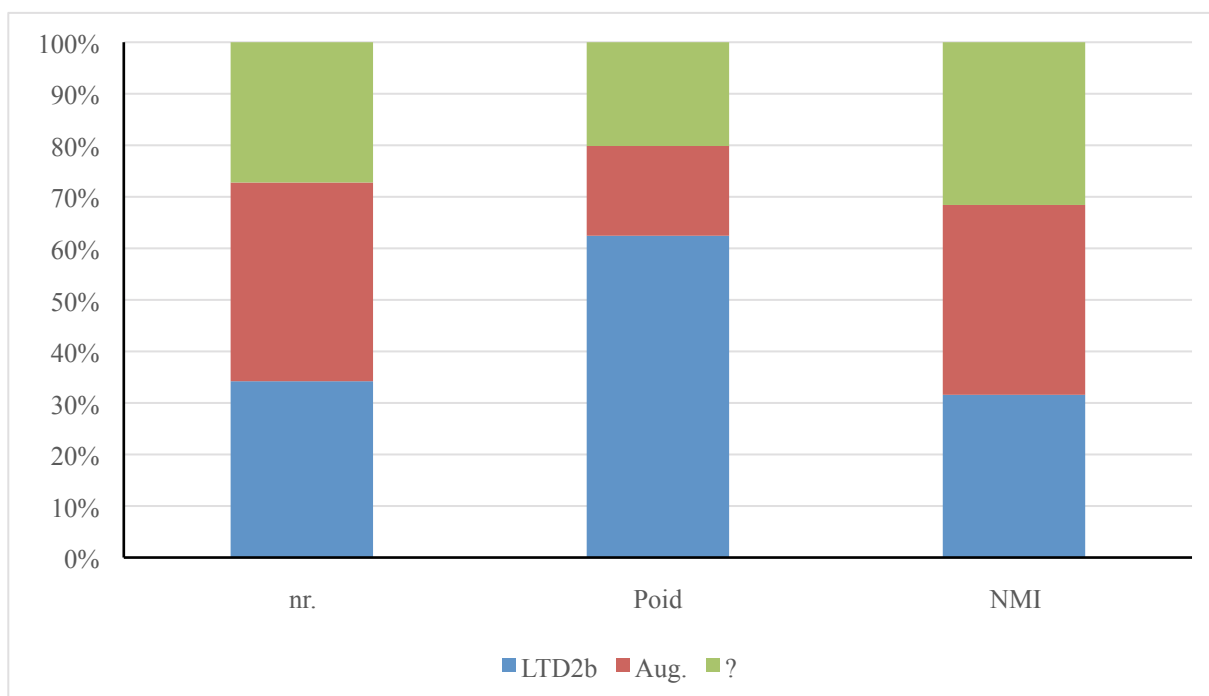


Fig. 106 : Gergovie fouille 2018 : Nombre de restes (nr) et poids des tessons d'amphore et nombre minimal d'individu (NMI) par phases chronologiques (La Tène D2b, époque augustéenne, indéterminé).

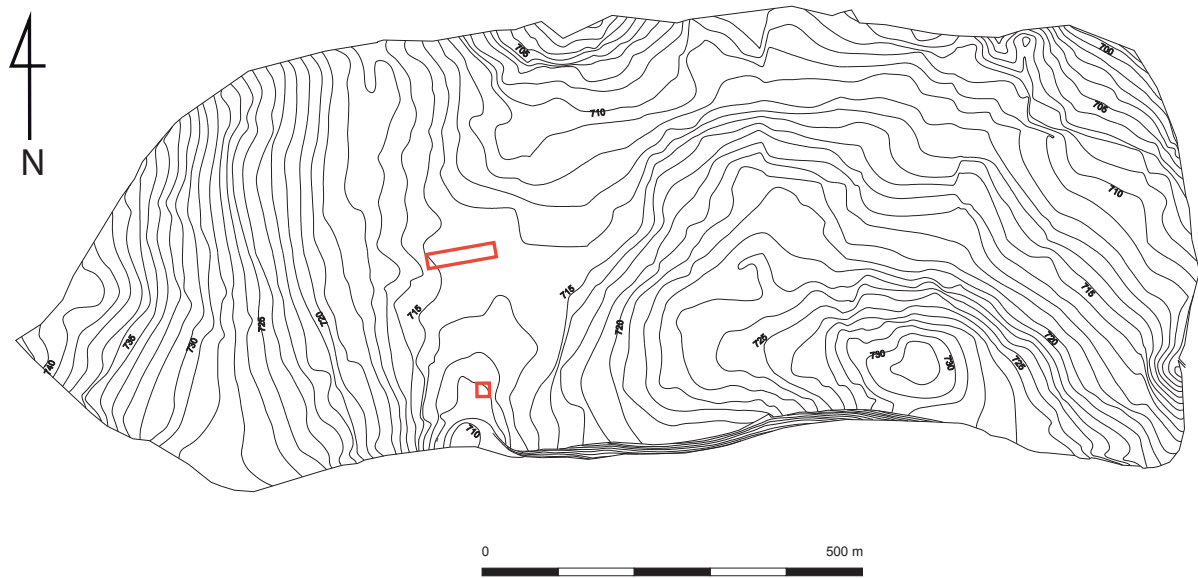


Fig. 107 : Gergovie, plan à courbes de niveau avec l'emplacement des zones fouillées entre 2013 et 2018. DAO Th. Pertlwieser, P. Jud.

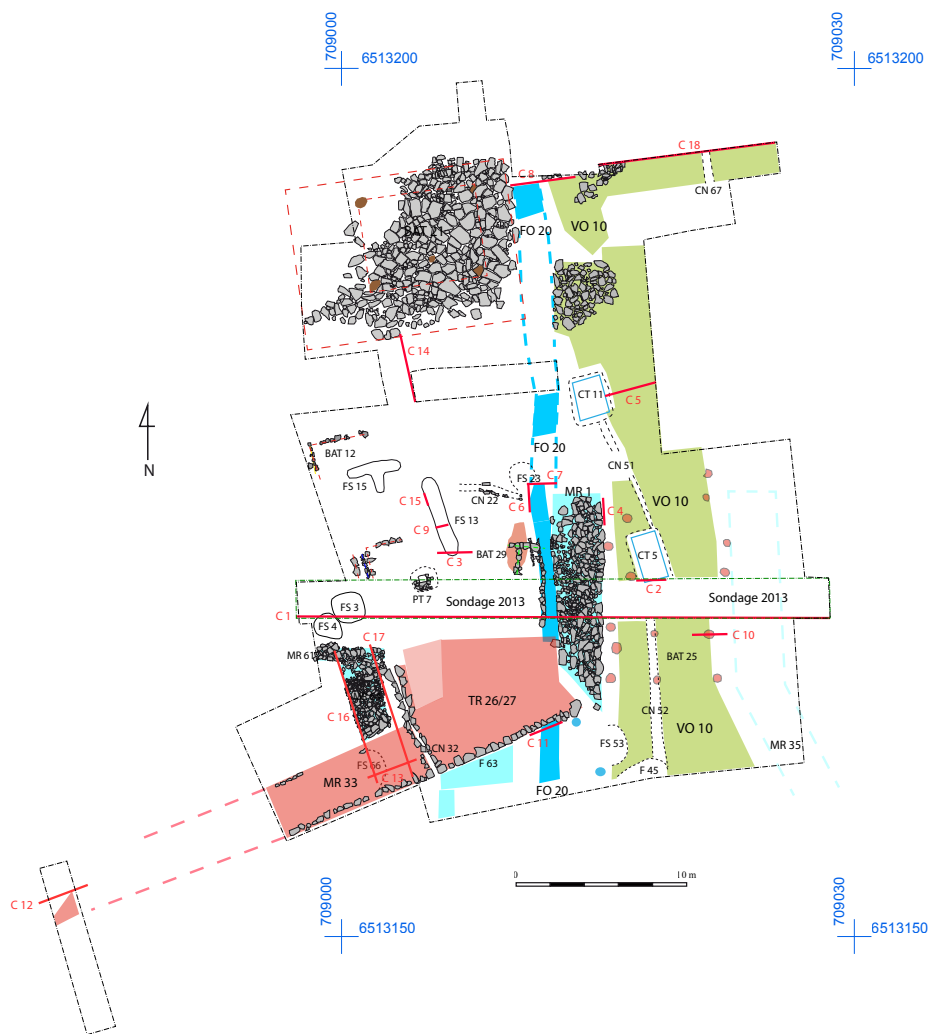


Fig. 108 : Gergovie, porte sud. Localisation des coupes stratigraphiques C 1 – C 18.

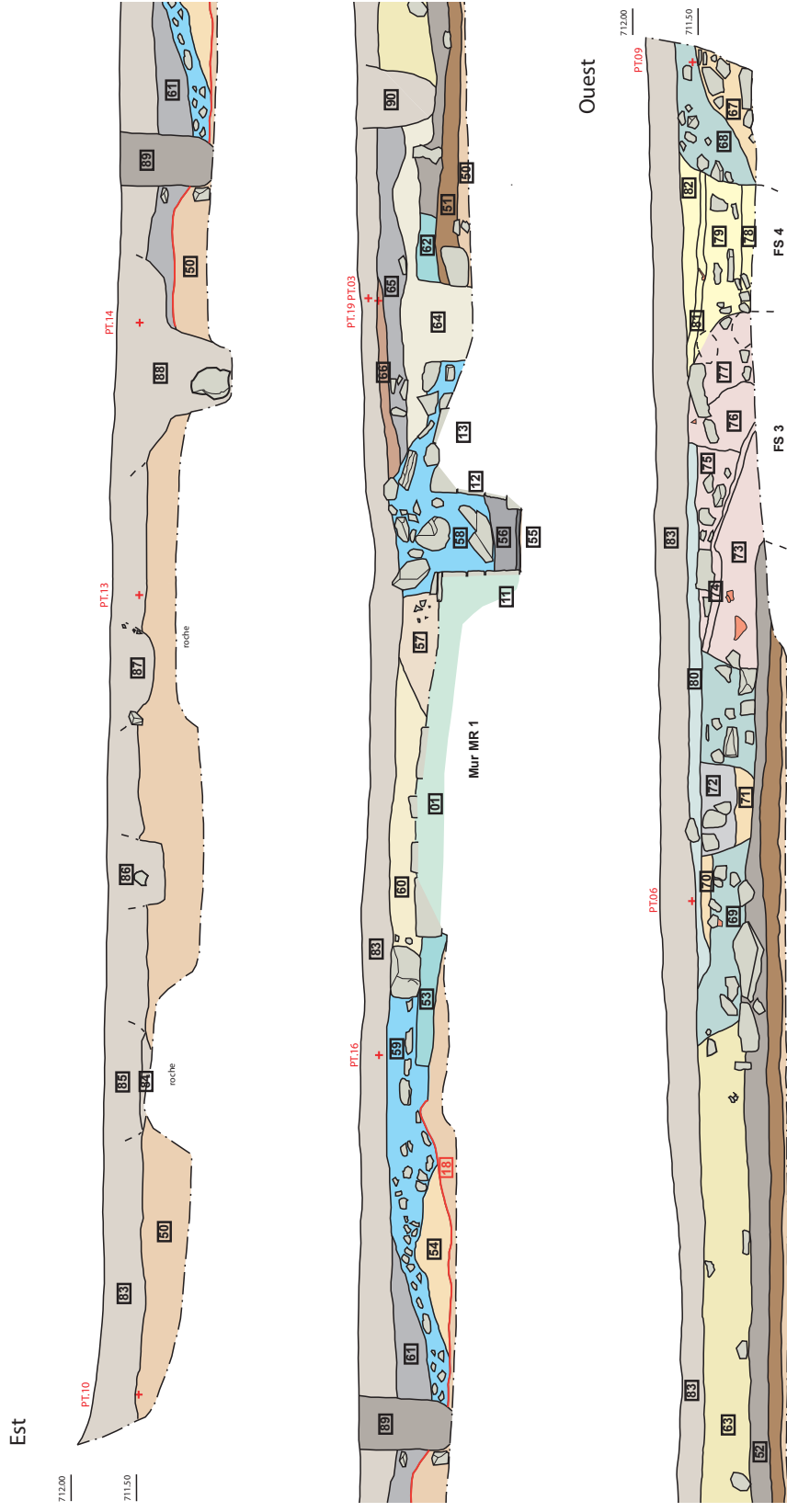


Fig. 109 : Gergovie, porte sud.- Sondage 2013, coupe sud (C 1).

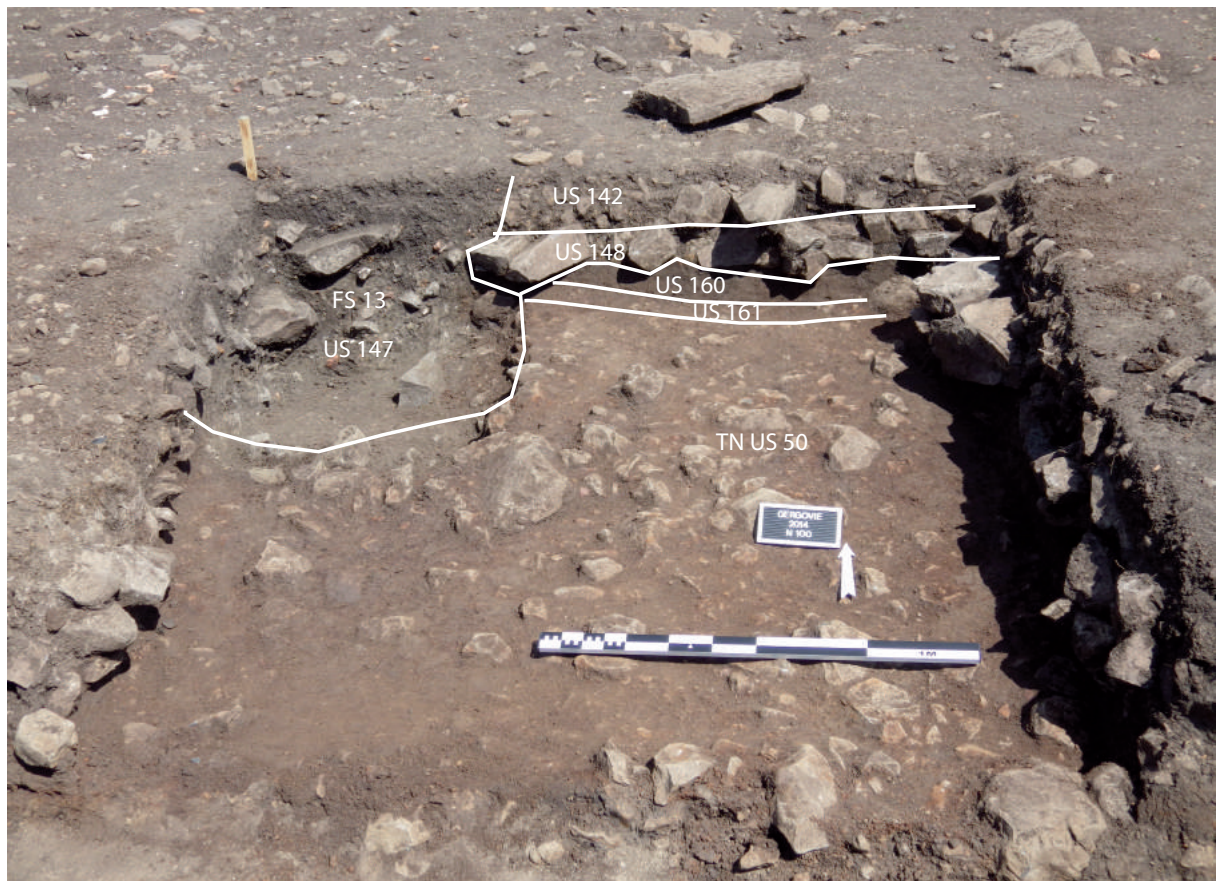


Fig. 110 : Gergovie, porte sud. Le secteur 25 (2014) après fouille (coupe C 3). La fosse FS 13 recoupe les couches US 142, US 148 et la "couche grise" US 160. La couche de sable à chailles US 161 repose directement sur le terrain naturel US 50.



Fig. 111 : Gergovie, porte sud. Le secteur 19 devant le bout nord du mur MR 1 après fouille, avec la "couche grise" en dessous du mur de fortification.

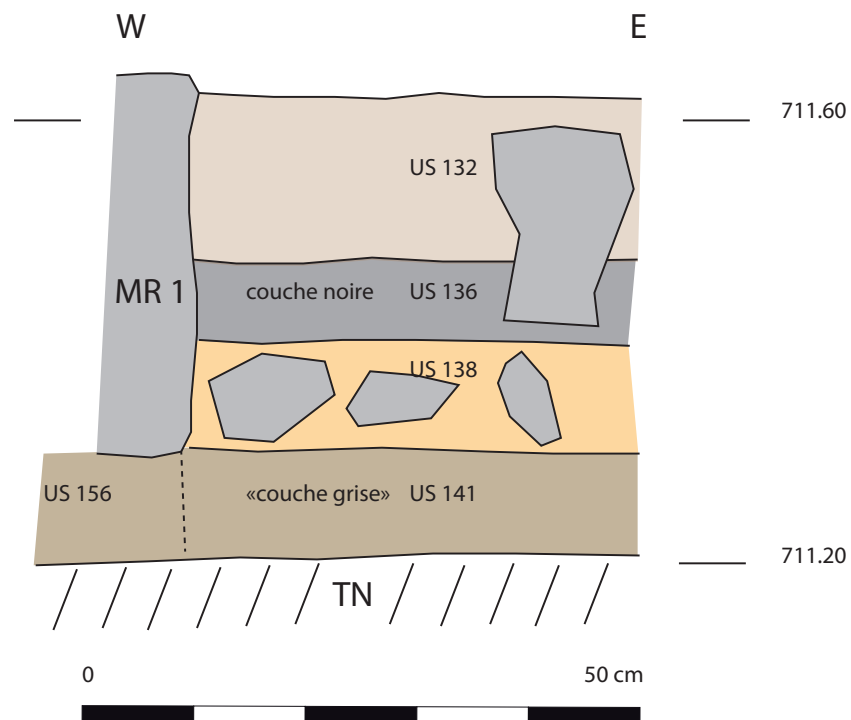


Fig. 112 : Gergovie, porte sud. Coupe C 4 avec la "couche grise" US 156 et US 141 qui passe sous le mur MR 1.

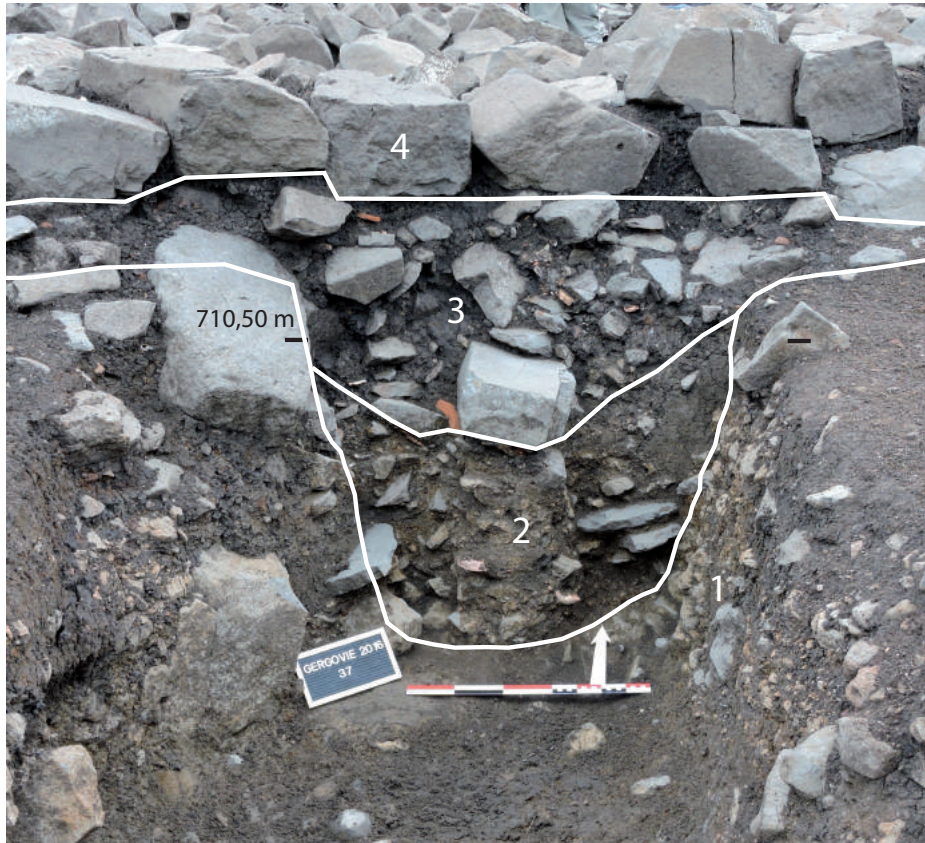


Fig. 113 : Gergovie, porte sud. Coupe C 11 dans le fossé FO 20. 1) TN; 2) gravier basaltique et pierres; 3) argile grise avec pierres anguleuses; 4) première assise de la tour Tr 26/27.

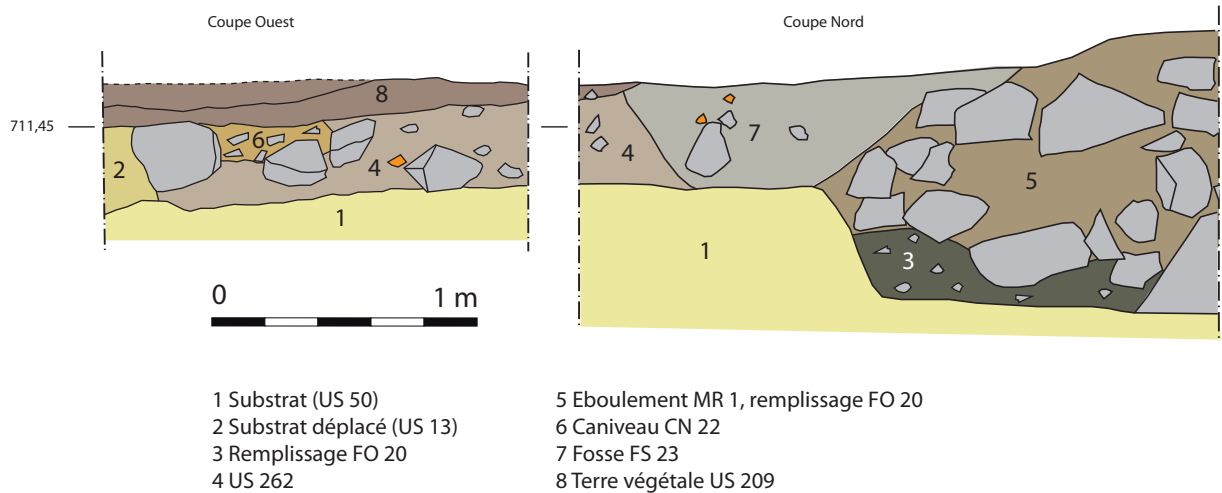


Fig. 114 : Gergovie, porte sud. Coupes C 6 et C 7 sur le fossé FO 20.



Fig. 115 : Gergovie, porte sud. Coupe C 7 dans le fossé FO 20.



Fig. 116 : Gergovie, porte sud. Le fossé FO 20 dégagé sur le niveau du TN, à l'ouest de la citerne CT 11.



Fig. 117 : Gergovie, porte sud. Vu zénithal sur le mur MR 1 (le nord est en bas).